

T.C.
GEBZE TEKNİK ÜNİVERSİTESİ
FEN BİLİMLERİ ENSTİTÜSÜ

ÜÇLÜ SARKAÇ İZOLATÖRLE YALITILMIŞ
SIVI DEPOLAMA TANKLARININ DEPREM
DAVRANIŞLARININ İNCELENMESİ

ÖZGE YALÇIN
YÜKSEK LİSANS TEZİ
DEPREM VE YAPI MÜHENDİSLİĞİ ANABİLİM DALI

GEBZE
2016

T.C.
GEBZE TEKNİK ÜNİVERSİTESİ
FEN BİLİMLERİ ENSTİTÜSÜ

ÜÇLÜ SARKAÇ İZOLATÖRLE
YALITILMIŞ SIVI DEPOLAMA
TANKLARININ DEPREM
DAVRANIŞLARININ İNCELENMESİ

ÖZGE YALÇIN
YÜKSEK LİSANS TEZİ
DEPREM VE YAPI MÜHENDİSLİĞİ ANABİLİM DALI

DANIŞMANI
PROF. DR. BÜLENT AKBAŞ
II. DANIŞMAN
DOÇ . DR. EREN UÇKAN

GEBZE
2016

T.R.
GEBZE TECHNICAL UNIVERSITY
GRADUATE SCHOOL OF NATURAL AND APPLIED SCIENCES

**INVESTIGATION OF SEISMIC BEHAVIOR
OF LIQUID STORAGE TANKS WITH
TRIPLE PENDULUM ISOLATORS**

ÖZGE YALÇIN

**A THESIS SUBMITTED FOR THE DEGREE OF
MASTER OF SCIENCE DEPRATMENT OF EARTHQUAKE
AND STRUCTURE ENGINEERING**

THESIS SUPERVISOR
PROF. DR. BULENT AKBAŞ
II. SUPERVISOR
ASSOC. PROF. DR. EREN UÇKAN

GEBZE

2016



YÜKSEK LİSANS JÜRİ ONAY FORMU

GTÜ Fen Bilimleri Enstitüsü Yönetim Kurulu'nun 19/01/2016 tarih ve 2016/05 sayılı kararıyla oluşturulan jüri tarafından 10/02/2016 tarihinde tez savunma sınavı yapılan Özge YALÇIN'ın tez çalışması Deprem ve Yapı Mühendisliği Anabilim Dalında YÜKSEK LİSANS tezi olarak kabul edilmiştir.

JÜRİ

ÜYE

(TEZ DANIŞMANI) : Prof.Dr. Bülent AKBAŞ

ÜYE

: Y.Doç.Dr. Ercan Şerif KAYA

ÜYE

: Y.Doç.Dr. Ferit ÇAKIR

ONAY

Gebze Teknik Üniversitesi Fen Bilimleri Enstitüsü Yönetim Kurulu'nun
...../...../..... tarih ve/..... sayılı kararı.

İMZA/MÜHÜR

ÖZET

Bu çalışma üçlü sarkaç izolatörle yalıtılmış sıvı tanklarının deprem davranışlarının incelenmesini içerir. Bu çalışma sıvı etkisinde olan geniş ve narin olmak üzere iki farklı tank çeşidinin impulsif ve salınım etkilerine karşı tankta meydana gelecek hasarları önlemek için sismik izolasyonun tanklar üzerindeki etkilerini araştırmayı amaçlamaktadır. Bu çalışma altı bölümden oluşmaktadır. Birinci bölüm giriş bölümü olup çalışmanın amacı hakkında genel bilgi verir. İkinci bölüm sıvı depolama tanklarının analiz yöntemi ve deprem davranışları hakkında bilgi verir. Üçüncü bölüm sismik izolasyon hakkında ve sismik izolasyonun yapılar üzerindeki etkisini içermektedir. Dördüncü bölüm sıvı depolama tanklarının dinamik analizi, modelleri ve analiz yaklaşımlarını içermektedir. Beşinci bölüm geniş ve narin tank modellerinin yalıtımlı ve yalıtımsız olarak 3 farklı deprem etkisindeki davranışı SAP2000 analiz programında zaman tanım alanında analiz ile ayrıntılı olarak incelenmiştir. Altıncı bölümde geniş ve narin tank analizlerinin sonuçları karşılaştırılmıştır.

Anahtar Kelimeler: Yalıtılmış Sıvı Depolama Tankları, TPF İzolatör, İzolatörlerin Tanklar Üzerindeki Etkisi.

SUMMARY

This work involves the analysis of seismic isolation liquid storage tank. In this study, aims to research effect on the seismic isolation tanks for the effect of large slender fluid tanks including two difference kind of impulsive and tank against vibration occurs to prevent future damage. This study consists of six chapters. The introduction of the first chapter provides general information about the purpose of the study. The second part of the liquid storage tank analysis provides information about the seismic behavior. The third section contains the effect on the seismic isolation of structures on or seismic isolation. Forth section contains dynamic analysis of the liquid storage tank the model and analysis approach. The fifth chapter contains large insulated tank and insulation three different models of behavior SAP2000 earthquakes were examined in detail by time history analysis. The results of broad and slender tanks is the sixth chapter analysis were compared. observed.

**Key Words: Seismic Behavior of Seismically Isolated Liquid Storage Tanks
TPF (Triple Pendulum Isolator).**

TEŐEKKÜR

BaŐta, yksek lisans eęitimimde desteęini ve yardımlarını hiębir zaman esirgemeyip bilgisi ile bu alıŐmanın oluŐmasının yolunu aan danıŐmanım Prof. Dr. Blent AKBAŐ'a,

Btn alıŐmam boyunca yanımda olan, bilgi ve tecrbelerini benimle paylaŐan eŐ danıŐmanım Assoc. Prof. Dr. Eren Ukan'a,

Ayrıca alıŐmam boyunca bilgilerini benimle paylaŐan ArŐ. Gr. nder Umut'a iten teŐekkrlerimi sunarım.



İÇİNDEKİLER

	Sayfa
ÖZET	v
SUMMARY	vi
TEŞEKKÜR	vii
İÇİNDEKİLER	viii
SİMGELER ve KISALTMALAR DİZİNİ	x
ŞEKİLLER DİZİNİ	xii
TABLolar DİZİNİ	xv
1. GİRİŞ	1
1.1. Tezin Amacı, Katkısı ve İçeriği	1
2. SIVI DEPOLAMA TANKLARI	3
2.1. Sıvı Depolama Tanklarının Dinamik Analiz Yöntemi	3
2.2. Sıvı Depolama Tanklarının Deprem Davranışları	5
2.3. Sıvı Depolama Tanklarında Sismik İzolasyon	7
3. SİSMİK İZOLAYON	9
3.1. Üçlü Sarkaç İzolatörler (Triple Friction pendulum)	9
3.2. Üçlü Sarkaç İzolatörlerin Yapılar Üzerindeki Etkisi	10
4. SIVI DEPOLAMA TANKLARININ DİNAMİK ANALİZİ	11
4.1. Dinamik Analiz Temelleri	11
4.2. Geliştirilen Modeller ve Analiz Yaklaşımları	11
5. SAP2000 ANALİZ PROGRAMI İLE YAPISAL ÇÖZÜMLEME	15
5.1. Spektral Değerlerin Belirlenmesi	15
5.1.1. Spektral Değerlerin Hesaplanması	15
5.1.2. Spektral İvme-Periyot Grafiklerinin Sönüm Oranlarına Göre Modifiye Edilmesi	16
5.2. Tank Model Özellikleri	18
5.2.1. Geniş Tank Model Özellikleri	18
5.2.2. Narin Tank Model Özellikleri	19
5.3. Üçlü Sarkaç İzolatör Özellikleri	19

5.3.1. İzolatörün Geometrik Özellikleri	20
5.3.2. İzolatörün Sürtünme Özellikleri	21
5.3.3. Tasarım Deplasmanının Hesabı	21
5.3.4. İzolatörün Dönme Atalet Özellikleri	23
5.3.5. İzolatörün Kütle Özellikleri	23
5.3.6. İzolatörün Yön Özellikleri	24
5.4. Analizde Kullanılan Deprem Kayıtları	27
5.4.1. Kocaeli Deprem Kaydının Tanıtılması	27
5.4.2. Oroville Deprem Kaydının Tanıtılması	28
5.4.3. Helena-Montana Deprem Kaydının Tanıtılması	28
5.5. Zaman Tanım Alanında Analiz Özellikleri	30
5.6. Tankların Deplasman Karşılaştırmaları	33
5.6.1. Geniş Tank Analiz Sonuçları	33
5.6.2. Narin Tank Analiz Sonuçları	39
5.6.3. Geniş Tank Analiz Sonuçlarının Karşılaştırılması	45
5.6.4. Narin Tank Analiz Sonuçlarının Karşılaştırılması	46
6. SONUÇLAR ve YORUMLAR	47
KAYNAKLAR	48
ÖZGEÇMİŞ	49

SİMGELER ve KISALTMALAR DİZİNİ

Simgeler ve Açıklamalar Kısaltmalar

S_s	: Kısa periyot için spektral ivme
S_1	: 1 sn periyodu için spektral ivme
F_a	: Kısa periyot için zemin katsayısı
F_v	: 1 sn periyodu için spektral ivme
S_{ms}	: İlgili zemin sınıfı için (kısa periyot) spektral ivme
S_{m1}	: İlgili zemin sınıfı için (1 sn periyot) spektral ivme
S_{ds}	: %5 sönümlü kısa periyotlu spektral ivme deplasmanı
S_{d1}	: %5 sönümlü 1 sn periyotlu spektral ivme deplasmanı
η	: Sönüm Katsayısı
H	: Tank yüksekliği
H'	: Sıvı yüksekliği
R	: Tank Yarıçapı
E	: Elastisite modülü
g	: Yerçekimi ivmesi
ρ	: Sıvı özgül ağırlığı
t	: Tank duvar kalınlığı
m_l	: Sıvı kütlesi
m_w	: Tank Kütlesi
m_r	: Tank Çatı Kütlesi
T_{imp}	: İmpulsif periyot
T_{con}	: Konvektif periyot
Q	: Taban kesme kuvveti
d	: Yatay deplasman
K_{eff}	: Etkili rijitlik

C_i	İmpulsif Dinamik Model Katsayı
C_c	Konvektif Dinamik Model Katsayı
Φ	İzolatör rijit kayıcı iç ölçüsü
h	İzolatörün rijit kayıcının yükseklik ölçüsü
T_{eff}	Etkili periyot
ASCE	American Society of Civil Engineers
API	American Petroleum Institute
FNA	Fast Nonlinear Analysis
GTE	Gebze Teknik Üniversitesi
R3	Dönme Deplasmanı
TFP	Triple Friction Pendulum
U1	Düşey Deplasman
U2	Yatay Deplasman

ŞEKİLLER DİZİNİ

<u>Şekil No:</u>	<u>Sayfa</u>
2.1: Sıvı dolu tankın matematik modeli.	3
2.2: İmpulsif ve konvektif katsayılar.	4
2.3: Tüpraşa deprem etkisiyle oluşan yangın sonucu hasar görmüş nafta yakıt tankları.	6
2.4: Deprem sonrası deforme olmuş tank.	6
2.5: Deprem sonrası sıvı çalkantısı nedeniyle tank duvarında oluşan hasar.	7
2.6: Tanklarda izolatör yerleşimi.	8
3.1: Üçlü sarkaç izolatör.	9
3.2: Üçlü sarkaç izolatör elemanları.	10
3.3: Üçlü sarkaç izolatör hareket mekanizması.	10
4.1: Sıvı salınımı ihmal edilmiş impuls etkinin eşdeğer sistemi.	13
4.2: Tek serbestlik dereceli sistem olarak modellenen sıvı dolu tankın eşdeğeri.	14
5.1: 50 yılda aşılma olasılığı %50 olan %5 sönümlü spektrum.	16
5.2: 50 yılda aşılma olasılığı %50 olan %2 sönümlü spektrum.	17
5.3: 50 yılda aşılma olasılığı %50 olan %0.5 sönümlü spektrum.	17
5.4: Geniş tank analiz modeli.	18
5.5: Narin tank analiz modeli.	19
5.6: İzolatörün boyut özellikleri.	20
5.7: İzolatörün kuvvet-yer değiştirme döngüsü.	20
5.8: İzolatörün kütle özelliklerinin tanıtılması.	24
5.9: İzolatörün yön özelliklerinin tanıtılması (U1).	25
5.10: İzolatörün yön özelliklerinin tanıtılması (U2).	26
5.11: İzolatörün yön özelliklerinin tanıtılması (R3).	27
5.12: Kocaeli deprem kaydının tanıtılması.	27
5.13: Oroville deprem kaydının tanıtılması.	28
5.14: Helena-Montana deprem kaydının tanıtılması.	29
5.15: İzolatörsüz ve izolatörlü sistemin analiz modeli.	29
5.16: Analiz yük durumları.	30

5.17: FNA Analiz adımları	30
5.18: FNA Analiz adımları modal analiz.	31
5.19: FNA Analiz adımları Kocaeli deprem kaydı.	31
5.20: FNA Analiz adımları Oroville deprem kaydı.	32
5.21: FNA Analiz adımları Helena-Montana deprem kaydı.	32
5.22: İzolatörsüz geniş tankta Kocaeli deprem etkisinden meydana gelen deplasman.	33
5.23: İzolatörlü geniş tankta Kocaeli deprem etkisinden meydana gelen deplasman.	33
5.24: İzolatörlü geniş tankta Kocaeli deprem etkisinden meydana gelen kesme kuvveti.	34
5.25: İzolatörlü geniş tankta Kocaeli deprem etkisinden meydana gelen kesme kuvveti.	34
5.26: İzolatörsüz geniş tankta Helena-Montana deprem etkisinden meydana gelen deplasman.	35
5.27: İzolatörlü geniş tankta Helena-Montana deprem etkisinden meydana gelen deplasman.	35
5.28: İzolatörlü geniş tankta Helena Montana deprem etkisinden meydana gelen kesme kuvveti.	36
5.29: İzolatörlü geniş tankta Helena-Montana deprem etkisinden meydana gelen kesme kuvveti.	36
5.30: İzolatörsüz geniş tankta Oroville deprem etkisinden meydana gelen deplasman.	37
5.31: İzolatörlü geniş tankta Oroville deprem etkisinden meydana gelen deplasman.	37
5.32: İzolatörlü geniş tankta Oroville deprem etkisinden meydana gelen kesme kuvveti.	38
5.33: İzolatörlü geniş tankta Oroville deprem etkisinden meydana gelen kesme kuvveti.	38
5.34: İzolatörsüz narin tankta Kocaeli deprem etkisinden meydana gelen deplasman.	39
5.35: İzolatörlü narin tankta Kocaeli deprem etkisinden meydana gelen deplasman.	39

5.36:	İzolatörlü narin tankta Kocaeli deprem etkisinden meydana gelen kesme kuvveti.	40
5.37:	İzolatörlü narin tankta Kocaeli deprem etkisinden meydana gelen kesme kuvveti.	40
5.38:	İzolatörsüz narin tankta Helena-Montana deprem etkisinden meydana gelen deplasman.	41
5.39:	İzolatörlü narin tankta Helena-Montana deprem etkisinden meydana gelen deplasman.	41
5.40:	İzolatörlü narin tankta Helena Montana deprem etkisinden meydana gelen kesme kuvveti.	42
5.41:	İzolatörlü narin tankta Helena-Montana deprem etkisinden meydana gelen kesme kuvveti.	42
5.42:	İzolatörsüz narin tankta Oroville deprem etkisinden meydana gelen deplasman.	43
5.43:	İzolatörlü narin tankta Oroville deprem etkisinden meydana gelen deplasman.	43
5.44:	İzolatörlü narin tankta Oroville deprem etkisinden meydana gelen kesme kuvveti.	44
5.45:	İzolatörlü narin tankta Oroville deprem etkisinden meydana gelen kesme kuvveti.	44

TABLolar DİZİNİ

<u>Tablo No:</u>	<u>Sayfa</u>
2.1: Yükseklik/Yarıçap oranına bağlı dinamik model parametreleri.	5
5.1: Spektral ivme değerleri.	15
5.2: Modifiye edilmiş spektral ivme değerleri.	16
5.3: İzolatörün geometrik özellikleri.	21
5.4: İzolatörün sürtünme özellikleri.	21
5.5: Tasarım deplasmanının hesabı	22
5.6: Geniş tank analiz sonuçları.	45
5.7: Geniş tank analiz sonuçlarının karşılaştırılması.	45
5.8: Narin tank analiz sonuçları.	46
5.9: Narin tank analiz sonuçlarının karşılaştırılması.	46

1. GİRİŞ

Topraklarının büyük bir kısmı deprem kuşağında bulunan ülkemizde sayıca oldukça fazla yıkıcı deprem olmuştur. Bu depremler sonucunda büyük can ve mal kaybı meydana gelmiş, ülkemiz maddi ve manevi büyük zararlar görmüştür. Marmara bölgesinde 1999 yılında olan büyük deprem sonrasında da depremler devam etmektedir. Bu da inşaa edilen ve edilecek olan yapıların depreme dayanıklı tasarımını gerektirmektedir.

Ülkemizde 1999 yılında derin izler bırakan Kocaeli depreminde 17,000 den fazla kişi hayatını kaybederken bölgedeki endüstriyel tesislerde de ciddi maddi kayıplar söz konusu olmuştur. Özellikle Tüpraş rafinerilerinde meydana gelen yangın sıvı depolama tanklarının tasarım ve projelendirilmelerinin yanı sıra depreme karşı izolasyonlarının sağlanması konusunda da çalışmalar yapılması gerektiğini göstermektedir. Depremlerin oluşumu farklı mühendislik anlayışlarının ortaya çıkmasına neden olmuştur. Bunlar depremden dolayı oluşan hasarların yerini tespit ve büyüklüğünü kontrol ederek, depremin yapıya etkisini en aza indirmeyi tasarlayan ve yapıların kinetik deprem enerjisinin yapıya ulaştığı yerde durdurulmasını esas alan anlayışlardır. [Mermer S, (2006)]

Sıvı depolama tanklarının depremlerde hasar görmelerinin başlıca nedenlerinden biri rezonans olgusudur. Büyük kapasiteli yere sabit çelik sıvı tanklarının titreşim periyotları genellikle 0.1 sn ile 0.5 sn arasında değişmektedir. Bu periyot aralığı aynı zamanda kuvvetli yer hareketlerinin maksimum enerjiyi içerdiği periyot aralığına denk gelmektedir. [Mermer S, (2006)]

1.1. Tezin Amacı, Katkısı ve İçeriği

Yere sabit (ground-supported) geniş hacimli silindirik depolama tankları birçok farklı sıvıyı depolamak için kullanılabilir. Bu tür tankların şiddetli yer hareketleri altındaki performansları önemlidir. Geçmiş depremler incelendiğinde geniş hacimli yere sabit sıvı depolama tanklarının yeterince iyi tasarlanmaması ve sismik olarak detaylandırılmamasından dolayı ağır hasarlar gördüğü gözlenmiştir. Şiddetli yer hareketinden dolayı bu tür tanklarda oluşan hasarlar, a) tank çeperinde fil ayağı şeklinde burkulma, b) çalkalanma etkisiyle tankın tepesinde oluşan hasar, c) taban

ankrajlarında zayıf detaylandırmadan dolayı oluşan yüksek gerilmelerin tank çeperini yırtması, d) kaldırma (uplift) etkisiyle boru bağlantılarında meydana gelen hasarlar olarak sınıflandırılır. Sıvı depolama tanklarının depreme dayanıklı tasarımı ile ilgili kullanılan yönetmelikler API 650, Eurocode 8 (1998) ve ASCE yönetmelikleridir.

Bu çalışmada, sismik olarak yalıtılmış sıvı depolama tanklarının deprem davranışları incelenecektir. Bu amaçla ilk olarak sıvı tanklara ait temel mühendislik talep parametreleri belirlenecektir. Daha sonra, ASCE7-10 da önerilen yöntemler kullanılarak farklı yükseklik/yarıçap ve periyottaki sıvı tanklarının analizlerinden elde edilen sonuçlar, konvansiyonel olarak inşaa edilen (rijit taban oturan) sonuçlarla karşılaştırılarak önerilen yalıtımın verimliliği sınanacaktır.

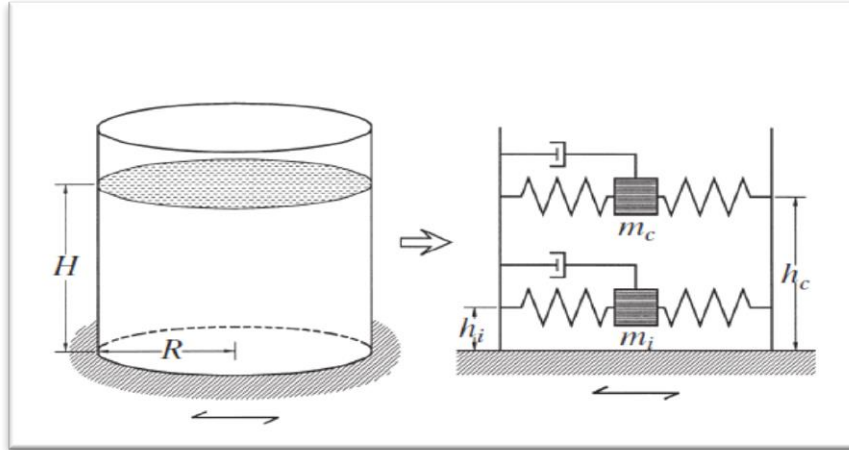


2. SIVI DEPOLAMA TANKLARI

Sıvı depolama tanklarının analizinde basitleştirilmiş analiz yöntemi kullanılabilir.

2.1. Sıvı Depolama Tanklarında Dinamik Analiz Yöntemi

Basit hesaplama yönteminde tankın içindeki sıvı davranışını ve tankın davranışını temsil eden iki parametre bulunur. Bunlar impulsif ve konvektif (salınım) etkileridir. Tankın tabanıyla birlikte hareket eden sıvı kütlesi sadece yatay hareketten etkilendiği için hareketi impulsiftir. Sıvı kütlesinin tankın üst yüzeyine yakın kısmında alt taraftan farklı olarak çalkantı hareketi olduğu için bu kısmın davranışı konvektiftir. Aynı şekilde impulsif davranışa etki eden kütle impulsif kütle, konvektif davranışa etki eden kütle konvektif kütlelerdir. İmpulsif ve konvektif yükseklikler yüksek modlardan doğan büyük devrilme momenti etkileri dikkate alınarak hesaplanır. Konvektif kütleyle karşılık gelen sönüm oranı 0.005 (tank içerisindeki sıvının sönüm oranı), impulsif kütleyle karşılık gelen sönüm oranı 0.02 (çelik tankın sönüm oranı), dır. [Yazıcı G., Çılı F., (2005)]



Şekil 2.1: Sıvı Dolu Tankın Matematik Modeli.

İmpulsif Periyot

$$T_{imp} = C_i * \frac{H * \sqrt{\rho}}{\left(\sqrt{\frac{h}{r}}\right) * \sqrt{E}} \quad (2.1)$$

Konvektif (Salınım) Periyodu

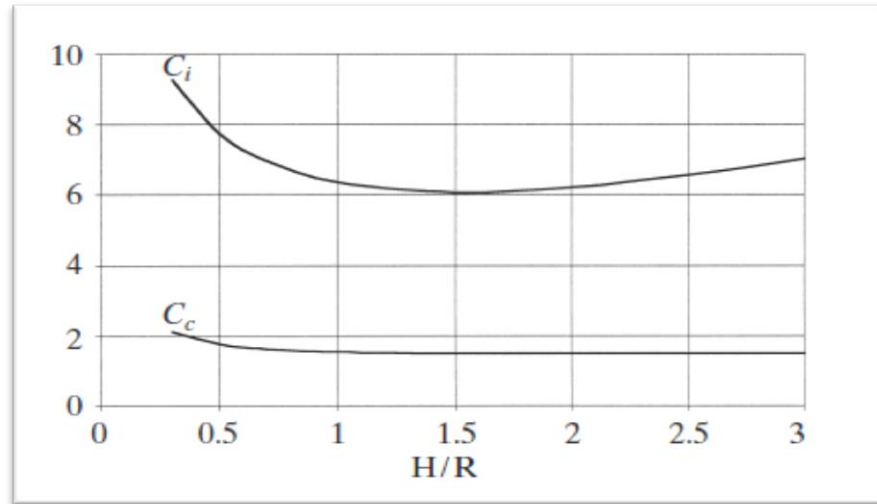
$$T_{con} = C_c * \sqrt{r} \quad (2.2)$$

Toplam Taban Kesme Kuvveti

$$Q = \left((m_i + m_w + m_r) * S_e * (T_{imp})\right) + (m_c * S_e(T_{con})) \quad (2.3)$$

Dikey Yönde Çalkalanma Deplasmanı

$$d = r * S_e(T_{con})/g \quad (2.4)$$



Şekil 2.2: İmpulsif ve Konvektif Katsayılar.

Tablo 2.1: Yükseklik/Yarıçap Oranına Bağlı Dinamik Model Parametreleri.

H/R	C _i	C _c	m _i /ml	m _c /ml	h _i /H	h _c /H	h _i '/H	h _c '/H
0.3	9.28	2.09	0.176	0.824	0.400	0.521	2.640	3.414
0.5	7.74	1.74	0.300	0.700	0.400	0.543	1.460	1.517
0.7	6.97	1.60	0.414	0.586	0.401	0.571	1.009	1.011
1.0	6.36	1.52	0.548	0.452	0.419	0.616	0.721	0.785
1.5	6.06	1.48	0.686	0.314	0.439	0.690	0.555	0.734
2.0	6.21	1.48	0.763	0.237	0.448	0.751	0.500	0.764
2.5	6.56	1.48	0.810	0.190	0.452	0.794	0.480	0.796
3.0	7.03	1.48	0.842	0.158	0.453	0.825	0.472	0.825

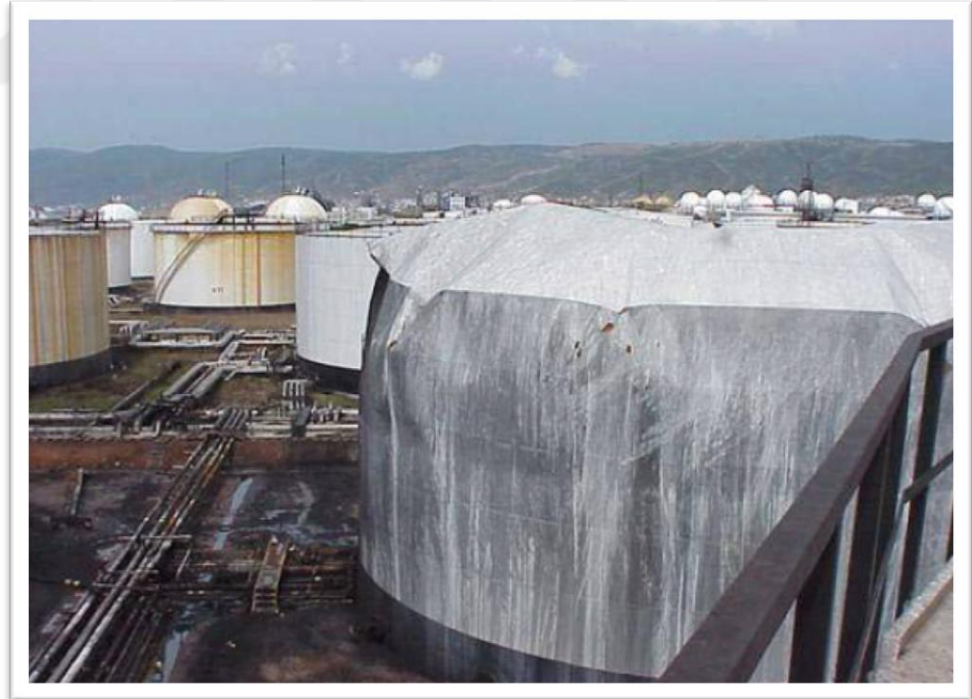
2.2. Sıvı Depolama Tanklarının Deprem Davranışları

Büyük kapasiteli zemine ankastre bağlı sıvı depolama tankları çeşitli sıvıları depolamak için kullanılır. Örneğin; içme suyu, petrol, kimyasal ve sıvılaştırılmış gazlar. Bu nedenle tankların iyi tasarlanması ve uygulanması çok önemlidir. İyi tasarlanmamış ve detaylandırılmamış sıvı depolama tankları geçmiş depremlerde ciddi hasarlar almıştır.

Çelik sıvı depolama tanklarında depremden dolayı oluşacak hasarlar çeşitli formlarda olabilir. Yüksek basınç kuvvetinden dolayı tank duvarının alt kısmında fil ayağı şeklinde burkulma oluşur. Sıvı çalkantısından dolayı tank duvarının üst kısmında ve çatısında hasarlar oluşur. Yüksek gerilmelerden ve kötü detaylandırmadan dolayı tank taban ankrajları kopabilir. Ayrıca taban kesme kuvveti nedeniyle tank tabanında kaymalar ve tank boru bağlantılarında kopmalar oluşabilir. [Malhotra P.K., Wenk T., Wieland M., (2000)]



Şekil 2.3: Tüpraş'ta deprem etkisiyle çıkan yangın sonucu hasar görmüş nafta yakıt tankları.



Şekil 2.4: Deprem sonrası deforme olmuş tank.



Şekil 2.5: Deprem sonrası sıvı çalkantısı nedeniyle tank duvarında oluşan hasar.

2.3. Sıvı Depolama Tanklarında Sismik İzolasyon

Sıvı depolama tanklarında sismik izolasyon uygulamaları tank-zemin ilişkisi içerisinde dikkate alınmaktadır. Sıvı depolama tanklarında sismik izolasyon sistemi uygulamaları çeşitli sismik sönümleyiciler kullanılarak yapılmaktadır. Bunların başında da yüksek sönümlü kauçuk yataklar ve sürtünme pandüllü yataklar gelmektedir. Sismik izolasyonun tanklarda kullanılması durumunda tankın titreşim periyodu uzamakta ve dolayısıyla da rezonans aralığından uzaklaşmaktadır. Bu sistemin diğer bir avantajı da enerji sönümü için bir mekanizma sunmasıdır. [Mermer S, (2006)]



Şekil 2.6: Tanklarda izolatör yerleşimi.

3. SİSMİK İZOLASYON

Yapıların deprem etkisiyle hasar görmesi sismik izolasyon ihtiyacına neden olmuştur. Sismik izolasyon elemanları yapıların periyodunu arttırarak deprem periyodundan uzaklaştırmakta ve deprem etkilerini büyük ölçüde sönümleyerek yapıya iletilen kuvvetin en aza indirilmesini sağlamaktadır. Sismik izolasyon elemanları sayesinde yapılar Daha az zarar görür, maddi ve manevi yıkımlar en aza indirgenir. [Mermer S, (2006)]

3.1. Üçlü Sarkaç İzolatörler (Triple Friction Pendulum)

Üçlü sarkaç izolatör iki iç bükey yüzeyler boyunca kayan bir iç sürgününden oluşur. İç sarkacın özellikleri yüksek yapı modları katılımını en aza indirmek ve hizmet düzeyi depremler sırasında meydana gelen yapı kesme kuvvetlerini azaltmak için belirlenir. İki ana iç bükey yüzeyleri boyunca kayan konkavlar iki bağımsız sarkaç izolatörleri içermektedir. İkinci sarkacın özellikleri tipik tasarım temeli deprem sırasında meydana gelen yapı kesme kuvvetlerini en aza indirmek için seçilir. Bu yapının inşaat maliyetlerini düşürür. Üçüncü sarkacın özellikleri yer değiştirmeleri en aza indirmek için seçilir. [Web 2, (2015)]

Geleneksel sismik izolasyon teknolojisiyle karşılaştırıldığında üçlü sarkaç izolatörler daha iyi sismik performans göstermektedir. Ayrıca alt yatak ve inşaat maliyetleri daha düşük olmaktadır. Üçlü sarkaç deprem hareketi anında sırasıyla aktive olur ve yer hareketi güçlendikçe izolatörde yer değiştirmeler artar. [Web 2, (2015)]

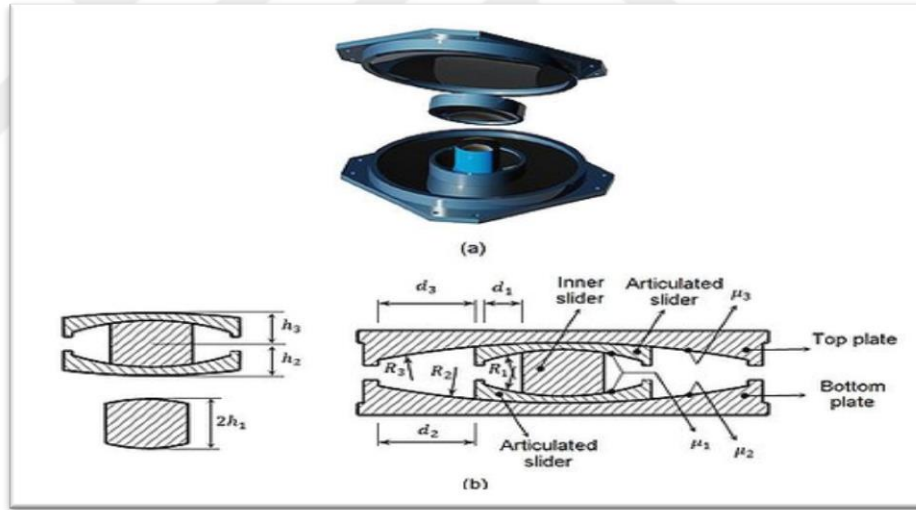


Şekil 3.1: Üçlü sarkaç izolatör.

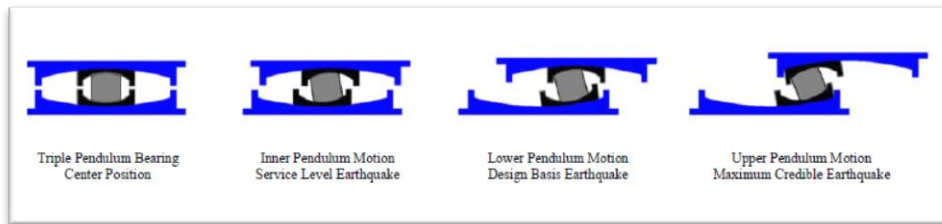
3.2. Üçlü Sarkaç İzolatörlerin Yapılar Üzerindeki Etkisi

Sürtülmeli sarkaç sistemler paslanmaz çelik levha arasına yerleştirilen sürtünme katsayısı düşük kompozit malzeme ile kaplı bir kayıcının hareketinden oluşur. Bu kayıcı temas ettiği levhanın küresel yüzeyi boyunca hareket eder.(Şekil 3.3). Sistem, geometrisi nedeniyle üst yapıyı denge konumuna zorlayan bir özelliktedir. Bu sistemlerde yapıların burulma etkileri en aza indirgenmiştir. Bunun sebebi ise kütle merkezi ve rijitlik merkezinin üst üste gelmesidir. [Web 2, (2015)]

Kayıcı, küresel yüzeyde hareket ettikçe mesnetlenen kütle yükselir ve sistem içinde geri çağırım kuvveti elde edilir. Mafsallı kayıcı ile küresel yüzey arasındaki sürtünme sistemin sönümünü sağlar ve dolayısıyla sürtünme ile deprem enerjisi sönümlenir. Temel ayırıcının efektif rijitliği ve yapının periyodu konkav yüzeyin eğrilik yarıçapı tarafından kontrol edilir ve yapının kütesinden bağımsızdır. İstenen periyot değeri eğrilik yarıçapının değiştirilmesi ile elde edilir. [Web 2, (2015)]



Şekil 3.2: Üçlü sarkaç izolatör elemanları.



Şekil 3.3: Üçlü sarkaç izolatör hareket mekanizması.

4. SIVI DEPOLAMA TANKLARININ DİNAMİK ANALİZİ

4.1. Dinamik Analiz Temelleri

Sıvı depolama tanklarının özelliklerini belirlemekle ilgili ilk araştırmalar 1850 li yıllara dayanmaktadır. L.Rayleigh 1883 de yapmış olduğu çalışmada silindirik bir depo içerisindeki sıvının titreşimini incelemiştir. Bu incelemenin ardından sıvı depolama tanklarıyla ilgili bir çok çalışma yapılmıştır. [Mermer S, (2006)] Silindirik depolarda yapılan araştırmalarda incelenen konular başlıca şunlardan oluşmaktadır;

- Depo – Sıvı etkileşiminin dikkate alınması,
- Depo – Zemin etkileşiminin dikkate alınması,
- Depoda meydana gelebilecek salınım hareketinin dikkate alınması,
- Depo tabanının kısmen zeminden ayrılması ve yatay eksen etrafında salınım hareketinin dikkate alınması,
- Depoların burkulmasının dikkate alınması,
- Dinamik özelliklerin deneysel olarak belirlenmesi,
- Depoların sismik yalıtım uygulamaları

Sıvı ile dolu olan bir tank hidrolik ve yapısal çözümlerin optimum değerleri için hesaplanıp modellenir. Sıvı depolama tanklarının dinamik analizi konusunda yapılan çalışmalar diğer yapılara göre daha karmaşıktır. Dinamik analizi yapılacak olan tankın sıvı – yapı, sıvı – zemin, etkileşimi modelleri tek serbestlik dereceli olarak hesaplanacaktır. [Mermer S, (2006)]

4.2. Geliştirilen Modeller ve Analiz Yaklaşımları

Sıvı depolama tanklarının dinamik analizi konusunda iki sınıf depoyu birbirinden ayırt etmek gerekir.

- Doluluk oranı $H/R < 1.5$ olan sığ depolar,
- Doluluk oranı $H/R > 1.5$ olan derin depolar

Tanktaki sıvı kütlesi tam dolu durum için rijit kütle gibi davranır. Newmark'a göre daga oluşumu %2 derinlik miktarı boş olan depolarda dikkate alınacaktır.

Bu çalışmalardaki kabul tanktaki sıvının sıkışmaz olduğudur. Westergard sıvının sıkışabilir kabul edilmesindeki hata payını % 4 olarak vermiştir. Diğer kabul ise tankın temel zeminine ankastre olarak oturduğudur. Jacobsen' e göre tanktaki hız alanı doğrudan zeminle ilgilidir. Fakat zamanın basınç üzerindeki etkilerini göz önüne almadığı için salınım ve impuls etkilerini hesaba almaz. Bu yüzden kullanışlı değildir.

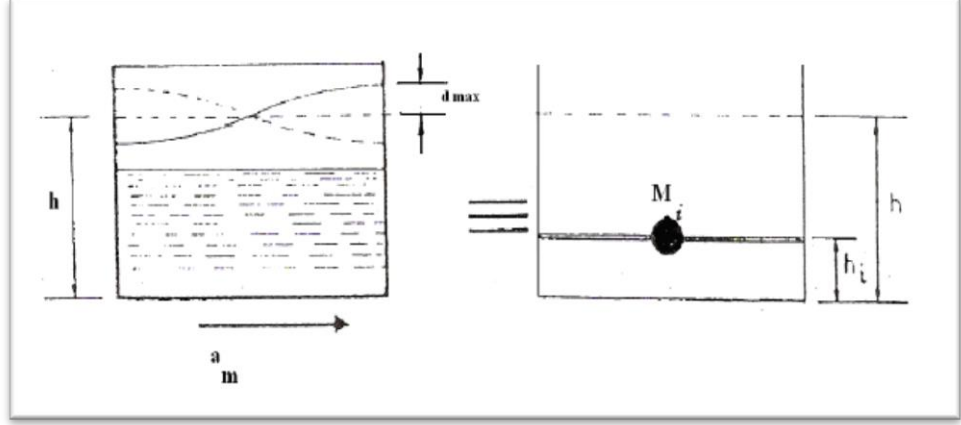
Hunt ve Priestly yöntemi impuls etkisi ve salınım etkisini dikkate alır. Ancak zemin ivmesini sonuçlarda fazla bilinmeyen olarak yer alması sakıncasını teşkil etmektedir.

Housner tarafından yapılan çalışmalarda rijit silindirik tanklar için salınım ve impuls etkilerini birbirinden ayırarak vermiştir. Sıvıların ivmelenmesinin sonucu olan sıvı tepkisi impulsif etki olarak ele alınmakta, sıvının dinamik hareket sonucu oluşan çalkalanma, yani salınım yapması salınım etkisi olarak ele alınıp modellenmektedir.

Hunt ve Priestly ile Housner ' e ait olan her iki hesap yöntemi tankın doluluk oranının her değeri için uygulanabilir. Bu yöntemler $H/R < 1.5$ doluluk oranına sahip tanklar için birbirine yakın sonuçlar vermektedir.

Housner' in hesap yöntemi modeli şu şekildedir;

Eşdeğer mekanik model; eşdeğer sıvı kütlesinin uygulandığı yatay etkiye eşit etki meydana getiren h_i yüksekliğinde depoya rijit olarak bağlı m_i kütlesini dikkate almak suretiyle elde edilmiştir. Sıvı salınımı ihmal edildiğinde impuls etkisinin eşdeğer sistemi şekil 4.1 de verilmektedir. Salınım etkileri ise aktif kütle adı verilen, sıvı kütlesinin diğer bir kısmının deprem etkisi altında salınım hareketi yapmasından ileri gelmektedir. [Mermer S, (2006)]



Şekil 4.1: Sıvı salınımı ihmal edilmiş impuls etkinin eşdeğer sistemi.

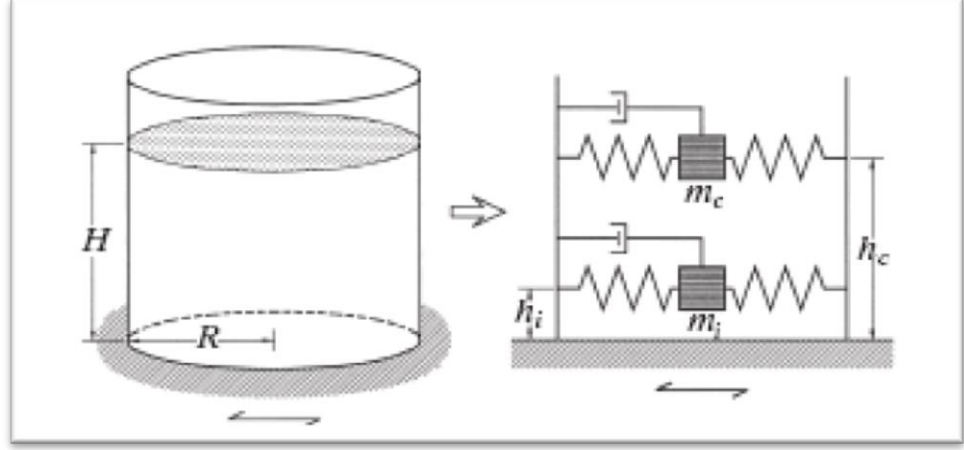
Modelin mekanik eşdeğeri h_{on} ya da h^*_{on} seviyelerinde k_a yay katsayılarıyla tutulmuş n tane m_{on} kütesini dikkate almak suretiyle elde edilmektedir. Yatay salınımlar aktif sıvı kütesinin oluşturduğu titreşim etkilerine eşit bir etki meydana getirirler.

Eğilme momentinin hesabı için dikkate alınan etkiler duvarlar üzerindeki etkilerdir. Bu durumda m_{on} kütleleri h^*_{on} seviyesinde etki ederler.

Housner hesap yönteminin diğer hesap yöntemleriyle karşılaştırıldığında gerçekçi olduğu görülmektedir.

Hunt ve Priestly ile Housner' e göre salınım basınçlarının karşılaştırılması ancak a_m akselogramı ve S_a ivme spektrumu yardımıyla yapılabilir. Bununla beraber Housner'e göre ϵ_0 , doluluk oranı $H/R < 1.5$ olan depolarda salınım basınçlarının çabuk azaldığı görülmektedir. Buna karşılık, doluluk oranı küçük betonarmeye ya da çelik dairesel tanklarda bu azalma çok yavaş olduğundan Housner'in yaklaşık yöntemi kullanılabilir.

Malhotra ve çalışma arkadaşlarının model önerisi ise impulsif ve salınım etkilerini dikkate alan modeldir. İmpulsif etkiler aktif salınım etkilerine benzer şekilde yay modellemesi yapılarak çözüm yoluna gidilmiştir. [Mermer S, (2006)]



Şekil 4.2: Tek serbestlik dereceli sistem olarak modellenen sıvı dolu tankın eşdeğeri.

Malhotra tarafından da nümerik olarak çalışılan dinamik davranışın sadece impulsif ve konvektif kütlelerin birinci mod davranışlarını göz önünde bulundurularak yeterli doğrulukta tahmin edilebileceği deneysel olarak da gösterilmiştir.

Tanklarla ilgili önceki çalışmalar rijit zemin üzerine oturan rijit tankların içindeki sıvıların karakteristiklerini ele almaktaydı. Bu çalışmalar göstermiştir ki uzun periyotlu salınımdan dolayı hareketlenen bir parça sıvıdan geride kalan kısım, duvarla beraber hareket etmektedir. İmpulsif sıvı olarak bilinen kısmın devrilme momenti ve temel kesme kuvvetine çoğunlukla etkide bulunmaktadır. Bunların zeminle aynı hızlanmayı yaptığı tespit edilmiştir. Salınım yapan sıvı serbest yüzeyi dalgaların yüksekliğinde etkilidir. [Mermer S, (2006)]

Tank duvarlarının esnekliği yerin pik ivmelenmesinin birkaç kat büyük değerinde impulsif etkilere sebep olabilmektedir. Bu değişim impulsif etkileri önemli derecede değiştirmektedir. Konvektif ya da diğer adıyla salınım etkileri pratikte tank duvarı ve zeminin esnekliğinden uzun periyotlu salınımlardan dolayı etkilenmemektedir.

Tanklar üzerindeki çalışmalar, deprem etkilerini dikkate alırken tabanlarına tam ankrajlı kabul edildi. Pratikte bu ekonomik değildir. Kısmen ankastre ve ankre edilmemiş rijit zemine oturan tanklarda taban kaldırma etkisi üzerine çalışmalar devam etmektedir. Bu çalışmalar göstermiştir ki taban kaldırma kuvvetleri iç hidrodinamik kuvvetleri azaltır, fakat tank duvarındaki basınç gerilmelerini önemli ölçüde artırır [Mermer S, (2006)]

5. SAP2000 ANALİZ PROGRAMI İLE YAPISAL ÇÖZÜMLEME

Bu çalışmada kullanılan tanklar Kocaeli/İzmit (Körfez) Bölgesinde 40° 45' - 29° 46' koordinatları arasında bulunduğu varsayılmıştır.

Tankların tek serbestlik dereceli yalıtımlı ve yalıtımsız modeli oluşturularak 3 farklı deprem etkisinde zaman tanım alanında analiz yöntemiyle davranışları incelenmiş ve taban kesme kuvvetleri ile deplasmanları karşılaştırılmıştır.

5.1. Spektral Değerlerin Belirlenmesi

Enlem ve boylam değerlerine göre Kıyı ve Liman Yapıları, Demir Yolları, Hava Meydanları İnşaatlarına İlişkin Deprem Teknik Yönetmeliği kullanılarak zemin sınıfına bağlı olarak spektral ivme değerleri belirlenip spektrumlar oluşturulmuştur.

5.1.1. Spektral Değerlerin Hesaplanması

Tablo 5.1: Spektral ivme değerleri.

ENLEM	BOYLAM	Kısa Periyot İçin Spektral İvme 50 yılda aşılma olasılığı			1 sn Periyot İçin Spektral İvme 50 yılda aşılma olasılığı			EK-A ya göre
		%50	%10	%2	%50	%10	%2	
40° 45'	29° 46'	0.64	1.32	2.16	0.24	0.58	1.08	

Tablo 5.1 de verilen değerler B sınıfı zemin grubu içindir. Tankın bulunacağı İzmit/Körfez seçilen koordinatların bulunduğu zemin grubu E sınıfıdır. Tablodaki değerler F_a ve F_v katsayıları ile modifiye edilmiştir.

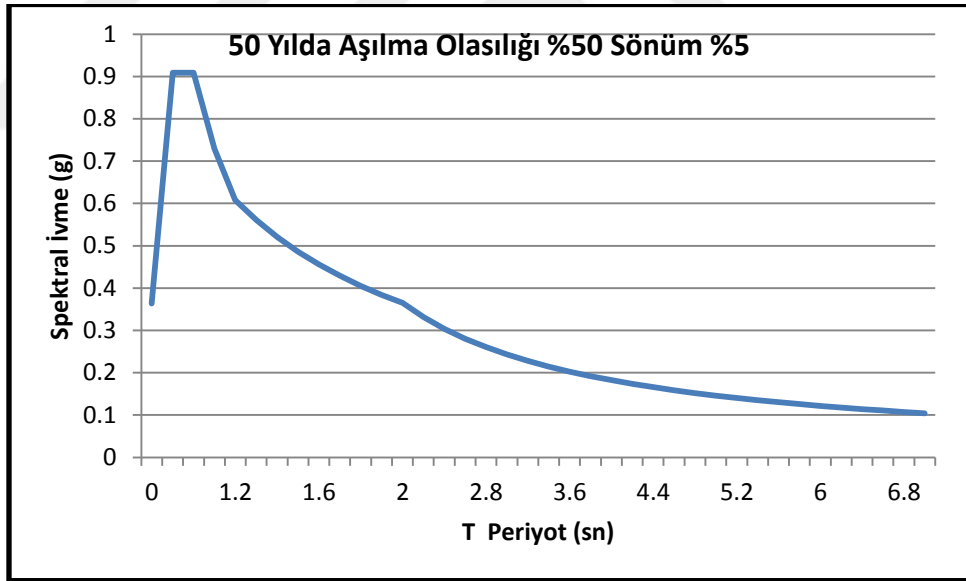
$$S_{ms} = F_a * S_S \quad (5.1)$$

$$S_{m1} = F_V * S_1 \quad (5.2)$$

- F_a : Kısa periyot zemin katsayısı
- F_v : 1sn periyodu zemin katsayısı

Tablo 5.2: Modifiye Edilmiş Spektral İvme Değerleri.

ENLEM	BOYLAM	Kısa Periyot İçin Spektral İvme 50 yılda aşılma olasılığı			1 sn Periyot İçin Spektral İvme 50 yılda aşılma olasılığı			EK-A ya göre
		%50	%10	%2	%50	%10	%2	
40° 45'	29° 46'	0.908	1.188	1.944	0.729	1.392	2.592	



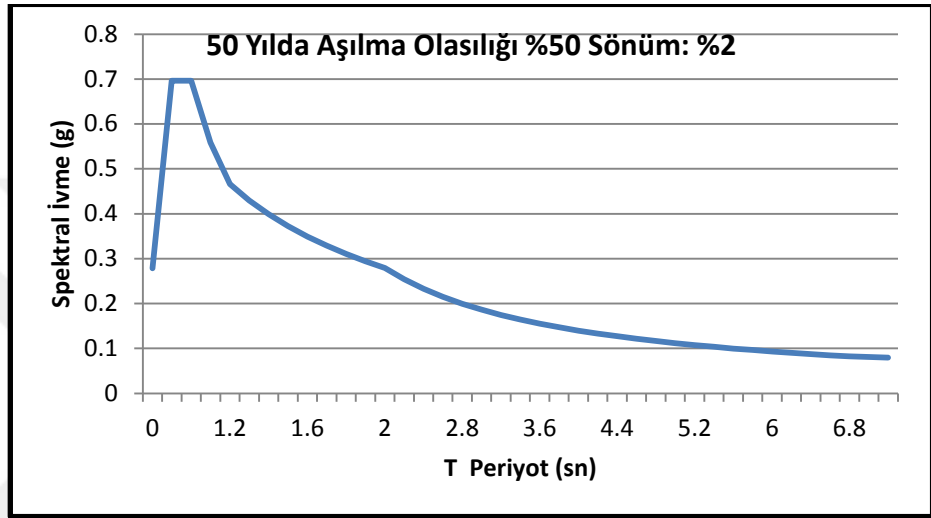
Şekil 5.1: 50 Yılda aşılma olasılığı %50 olan %5 sönümlü spektrum.

5.1.2. Spektral İvme-Periyot Grafiklerinin %2 ve %0.5 Sönüm Oranına Göre Modifiye Edilmesi

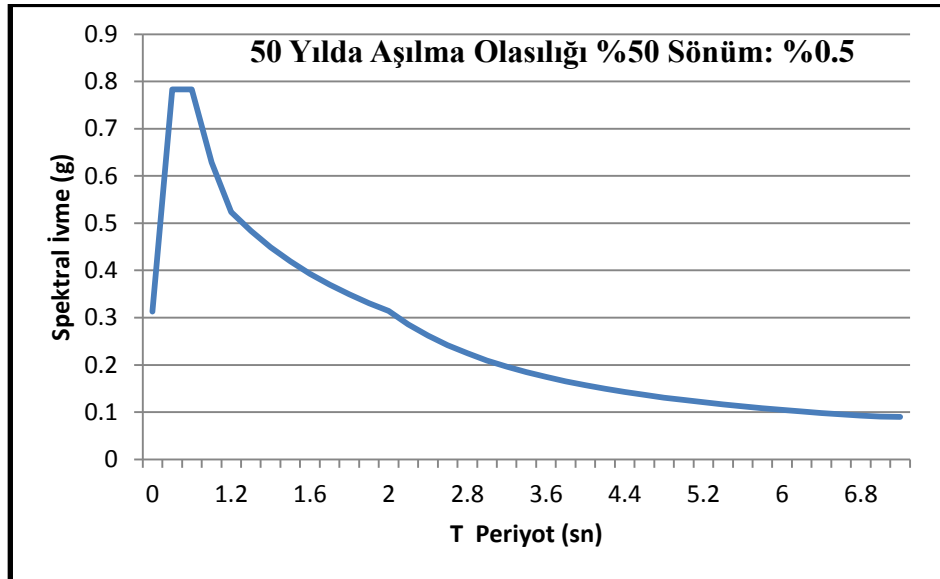
Yönetmeliklerdeki spektrumlar mevcut yapılar için %5 sönüm oranına göre oluşturulmuştur. Diğer yapılar için örneğin; tanklar için sönüm oranı farklıdır. Sıvı

depolama tanklarının analizinde iki farklı sönüm oranı kullanılır. Bunlardan %2 lik sönüm tank duvarını temsil eden sönüm oranıdır. %0.5 lik sönüm ise çalkalanan sıvının sönüm oranıdır. Bu yüzden mevcut spektrumlar kullanacağımız sönüm oranlarına göre modifiye edilmelidir.

$$\eta = \left(\frac{0.07}{0.02 + \xi} \right)^{0.25} \quad (5.3)$$



Şekil 5.2: 50 Yılda aşılma olasılığı %50 olan %2 sönümlü spektrum.



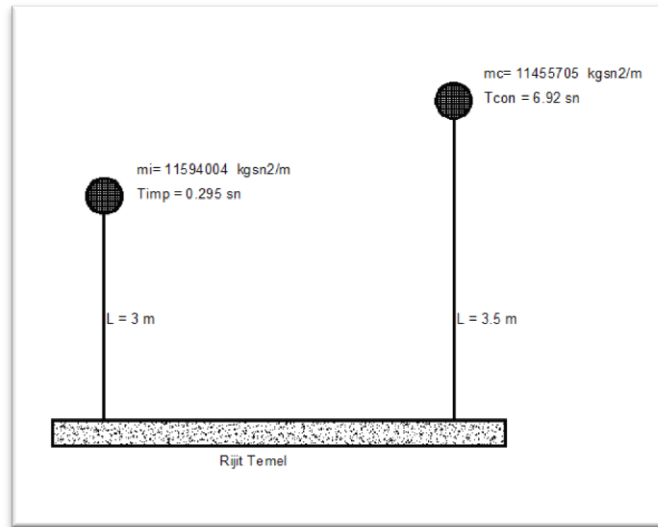
Şekil 5.3: 50 Yılda aşılma olasılığı %50 olan %0.5 sönümlü spektrum.

5.2. Tank Model Özellikleri

Farklı çap ve yükseklikte iki adet tankın kütle ve periyot (impulsif periyot ve konvektif periyot) özellikleri belirlenmiştir. Tanklar tek serbestlik dereceli olarak modellenmiştir. Belirlenen periyodu sağlayacak şekilde SAP2000 analiz programında kullanılan malzemenin rijitliği buna uygun olarak belirlenmiştir. Birinci tank 20 m yarıçapına ve 18 m yüksekliğe, ikinci tank 20m yarıçapına ve 30 m yüksekliğe sahiptir.

5.2.1. Geniş Tank Model Özellikleri

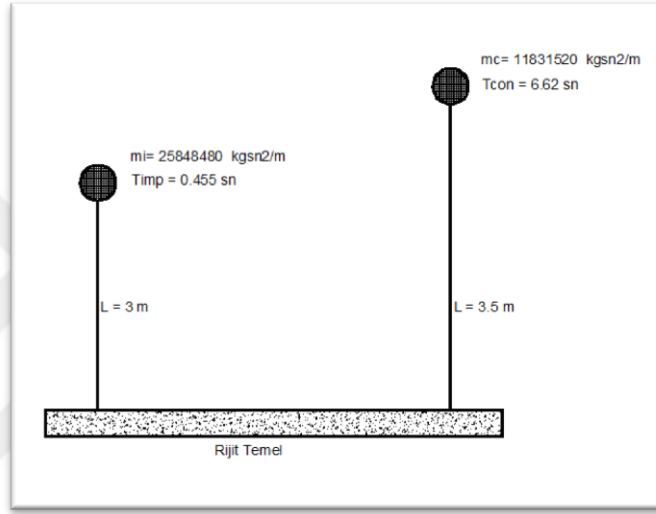
- $R= 20\text{m}$; $H= 18\text{m}$
- $T_{\text{imp}} = 0.295 \text{ sn}$, $T_{\text{con}} = 6.92 \text{ sn}$
- $Se(T_{\text{imp}}) = 0.605\text{g}$, $Se(T_{\text{con}}) = 0.091\text{g}$
- $m_i = C_i * m_l$ $m_i = 0.503 * 23049710 = 11594004 \text{ kgsn}^2/\text{m}$
- $m_c = C_c * m_l$ $m_c = 0.497 * 23049710 = 11455705 \text{ kgsn}^2/\text{m}$
- $d = 0.185 \text{ m}$



Şekil 5.4: Geniş tank analiz modeli.

5.2.2. Narin Tank Model Özellikleri

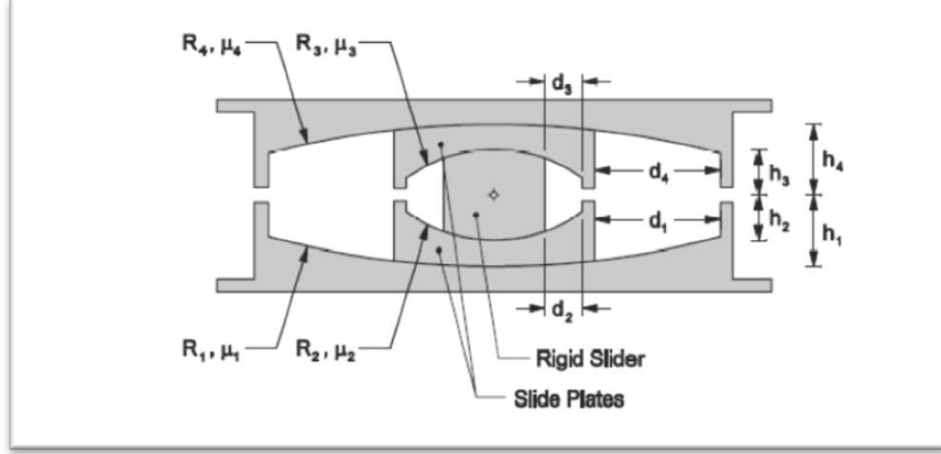
- $R= 20\text{m}$; $H= 30\text{m}$
- $T_{imp} = 0.455\text{ sn}$, $T_{con} = 6.62\text{ sn}$
- $Se(T_{imp}) = 0.696$, $Se(T_{con}) = 0.096$
- $m_i = C_i * m_l$ $m_i = 0.686 * 38311014 = 25848480\text{ kgsn}^2/\text{m}$
- $m_c = C_c * m_l$ $m_c = 0.314 * 38311014 = 11831520\text{ kgsn}^2/\text{m}$
- $d = 0.196\text{ m}$



Şekil 5.5: Narin tank analiz modeli.

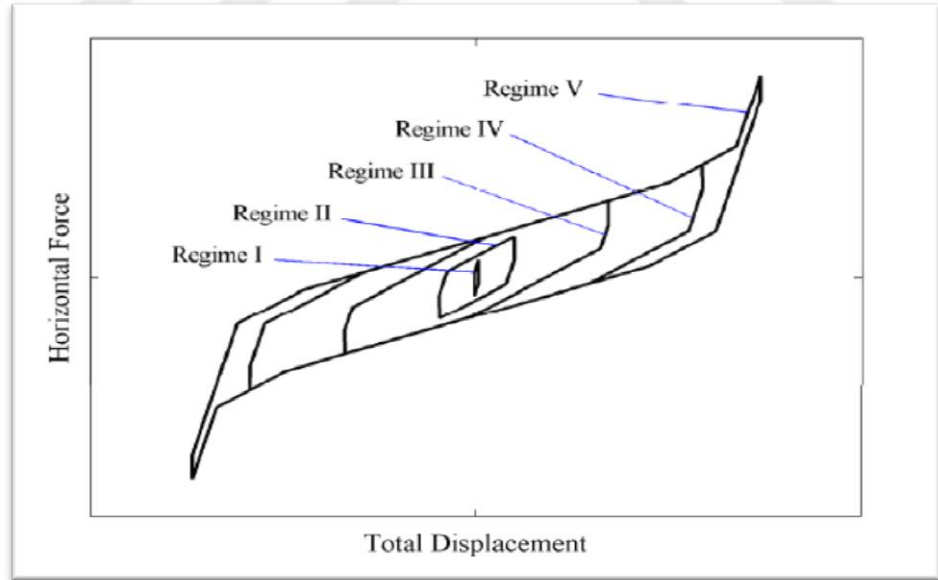
5.3. Üçlü Sarkaç İzolatör Özellikleri

Üçlü sarkaç izolatörler 3 elemandan oluşur. Dış plaka, iç plaka ve rijit kayıcıdan oluşur. R_1 ve R_2 iç ve dış plakaların eğrilik yarıçapı, μ_1 ve μ_2 iç ve dış plakaların sürtünme katsayısı, d_1 , d_2 , d_3 iç ve rijit elemanın bir yöndeki hareket mesafesi, h_1 , h_2 iç ve rijit elemanın merkezden olan yüksekliğidir.[A.A.A. Sarlis., M.C. Constantinou., (2010)]



Şekil 5.6: İzolatörün boyut özellikleri.

Döngü parametreleri, sürtünme katsayısı ve izolatör tarafından taşınan ağırlığa bağlıdır. 1. Ve 4. Bölgeler arasında kalacak şekilde tasarlanan izolatör aslında 5. Bölge için de belli bir deplasman kapasitesine sahiptir. 5. Bölge izolatör 2 ve 3 yüzeylerinin hareket ettiği d_1 ve d_2 deplasman kapasitesini tüketir. (Şekil 5.6) [A.A.A. Sarlis., M.C. Constantinou., (2010)]



Şekil 5.7: Üçlü sarkaç izolatörün kuvvet-yerdeğiştirme döngüsü.

5.3.1. İzolatörün Geometrik Özellikleri

Aşağıdaki geometrik özelliklere sahip izolatörün taşıyacağı düşey yük 250 ton.

Tablo 5.3: İzolatörün geometrik özellikleri.

$R1=R4$	2235 mm
$R2=R3$	406 mm
$h1=h3$	102 mm
$h2=h4$	76 mm
$d1$	356 mm
$d2$	51 mm
$R1_{eff}=R4_{eff}=R1-h1$	2133 mm
$R2_{eff}=R3_{eff}=R2-h2$	330 mm
$d1^*=d4^*=d1 * R1_{eff}/R1$	339.75 mm
$d2^*=d3^*=d2 * R2_{eff}/R2$	41.45 mm

5.3.2. İzolatörün Sürtünme Özellikleri

Tablo 5.4: İzolatörün sürtünme özellikleri.

İzolatör Özellikleri			
Geometrik Özellikler		Sürtünme Özellikleri	
Özellik	Değer	Özellik	Değer
$R1_{eff}=R4_{eff}$	2133	$\mu1=\mu4$	0.079
$R2_{eff}=R3_{eff}$	330	$\mu2=\mu3$	0.067
$d1^*=d4^*$	339.8	$\mu(\text{lower Bound})$	0.077
$d2^*=d3^*$	41.5	$\mu1=\mu4$	0.095
		$\mu2=\mu3$	0.081
		$\mu(\text{Upper Bound})$	0.093

5.3.3. Tasarım Deplasmanının Hesaplanması

Bu kısımda izolatörün tasarım deplasmanı, etkin rijitliği, etkin sönümü ve etkin periyodu hesaplanmıştır. D_d tasarım deplasmanının hesabında interpolasyon yöntemi kullanılır.[El-Bayoumi.K., (2015)] İzolatör sayısı tankın toplam düşey yükünü karşılayacak miktarda seçilir. Bu çalışmada bir izolatör 250 ton düşey yük kapasitesine sahiptir. Geniş tank düşey ağırlığı 23,000 ton, narin tank ağırlığı 38,500

ton dur. Bu yüzden geniş tank tabanında 100, narin tank tabanında 155 adet izolatör kullanılmıştır.

İzolator etkili rijitligi;

$$K_{eff} = K_1 + K_2 \quad (5.4)$$

$$K_1 = \left(\frac{\mu_2 * W}{2 * D_y} \right) - \left(\frac{W}{2 * K_{eff}^2} \right) \quad (5.5)$$

$$K_2 = \left(\frac{W}{2 * K_{eff}^2} \right) \quad (5.6)$$

İzolator etkili periyodu;

$$T_{eff} = \left(2\pi * \left(\frac{\sqrt{\Sigma W}}{K_{eff} * g} \right) \right) \quad (5.7)$$

İzolator etkili sönümü;

$$\beta = \frac{4 * \mu * \Sigma W * (D_d - D_y)}{2\pi * K_{eff} * D_d^2} \quad (5.8)$$

Sönüm azaltma faktörü;

$$B_d = \left(\frac{\beta_{eff}}{0.05} \right)^{0.3} \quad (5.9)$$

Tasarım deplasmanı;

$$D_d = \frac{S_{d1} * T_{eff}^2}{4\pi^2 * \beta} * g \quad (5.10)$$

Tablo 5.5: İzolatör tasarım deplasmanının hesabı.

SD1	μ	μ_1	DY	W	n İzolatör
0.486	0.093	0.095	0.00462	250	100
Dd					0.077 m
Etkili Rijitlik		$K_{eff} = K_{toplam}$			111602 t/m
Etkili Periyot		$T_{eff} = 2 * \pi * \sqrt{\left(\frac{\Sigma W}{K_{eff} * g}\right)}$			0.95 sn
Etkili Sönüm		$\beta_d = \frac{4 * \mu * \Sigma W * (Dd - Dy)}{2 * \Pi * K_{eff} * Dd^2}$			0.17
Sönüm Azaltma Faktörü		$BD = \left(\frac{\beta_{eff}}{0.05}\right)^{0.3}$			1.42
Dd'		$Dd' = \frac{SD1 * T_{eff}^2 * g}{4 * \Pi^2 * \beta}$			0.077 m

5.3.4. İzolatörün Dönme Atalet Özellikleri

- $\Phi=0.305m$
- $h=0.32m$
- Kesit Alanı : $0.073m^2$
- $K_{eff} = (W/R_{1eff}) + (\mu * W/Dd) = 421 \text{ t/m}$
- $I = K_{eff} * h^3 / 12 * E = 3.05E-5 \text{ m}^4$

5.3.5. İzolatörün Kütle Özellikleri

- $I = m_{isolatör} * (D_r^2 + h^2) / 12$
- $M = 1.87E-3 \text{ tsn}^2/m$
- $D_r =$ Rijit kayıcının ölçüsü
- $h =$ İzolatör yüksekliği

Link/Support Property Data

Link/Support Type: Triple Pendulum Isolator

Property Name: ISOLATOR

Property Notes:

Total Mass and Weight

Mass	7.060E-06	Rotational Inertia 1	1.140E-07
Weight	0.	Rotational Inertia 2	0.
		Rotational Inertia 3	0.

Factors For Line, Area and Solid Springs

Property is Defined for This Length In a Line Spring: 1.

Property is Defined for This Area In Area and Solid Springs: 1.

Directional Properties

Direction	Fixed	NonLinear	Properties
<input checked="" type="checkbox"/> U1	<input type="checkbox"/>	<input checked="" type="checkbox"/>	Modify/Show for U1...
<input checked="" type="checkbox"/> U2	<input type="checkbox"/>	<input checked="" type="checkbox"/>	Modify/Show for U2...
<input type="checkbox"/> U3	<input type="checkbox"/>	<input type="checkbox"/>	Modify/Show for U3...
<input type="checkbox"/> R1	<input type="checkbox"/>	<input type="checkbox"/>	Modify/Show for R1...
<input type="checkbox"/> R2	<input type="checkbox"/>	<input type="checkbox"/>	Modify/Show for R2...
<input checked="" type="checkbox"/> R3	<input type="checkbox"/>	<input type="checkbox"/>	Modify/Show for R3...

P-Delta Parameters

Advanced...

OK

Cancel

Fix All

Clear All

Şekil 5.8: İzolatörün Kütle Özelliklerinin Tanıtılması.

5.3.6. İzolatörün Yön Özellikleri (U1,U2,R3)

- $\Phi = 0.305\text{m}$
- $h = 0.32\text{m}$
- Etkili rijitlik : $E \cdot A / L = 2.28\text{E}+06 \text{ t/m}$
- D_d İçin etkili sönüm = 17 %

Link/Support Directional Properties

Identification

Property Name: ISOLATOR

Direction: U1

Type: Triple Pendulum Isolator

NonLinear: Yes

Properties Used For Linear Analysis Cases

Effective Stiffness: 2284375.

Effective Damping: 0.17

Properties Used For Nonlinear Analysis Cases

Stiffness: 2284375.

Damping Coefficient: 0.17

OK Cancel

Şekil 5.9: İzolatörün yön özelliklerinin tanıtılması.

Lineer özelliklerinin belirlenmesi;

- Etkili rijitlik 421 t/m
- Dd İçin etkili sönüm = 17 %
- Dış Yüzey Yüksekliği : $h_1=h_4= 0.102\text{m}$
- İç yüzey Yüksekliği : $h_2=h_3= 0.076\text{m}$

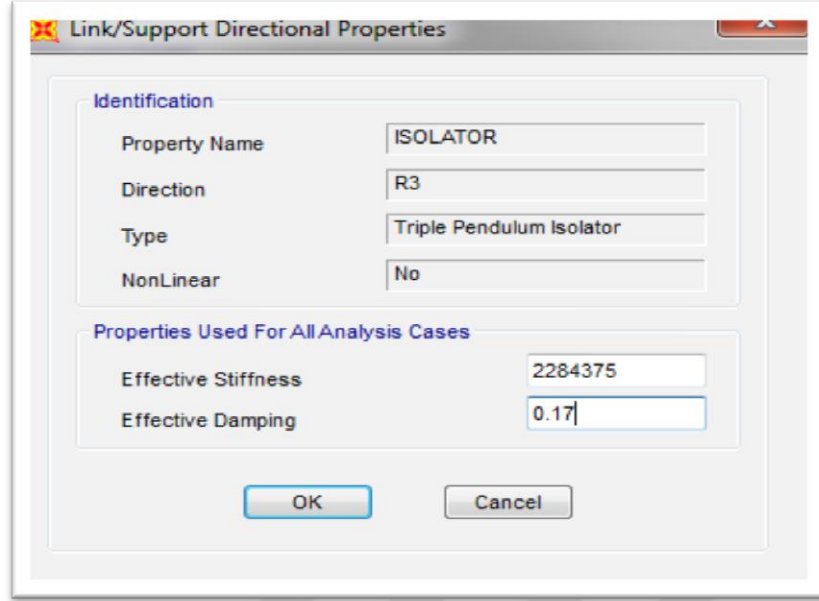
Nonlinear özelliklerinin belirlenmesi;

- Rijitlik : $\mu \cdot W/D_y$
- $D_y = (\mu_1 - \mu_2) \cdot R_{2\text{eff}}$
- Dış Yüzey Rijitliği : 5140 ton/m
- İç Yüzey Rijitliği : 4383 ton/m
- Sürtünme Katsayısı (Slow) : $\mu_1 = 0.0095$
- Sürtünme Katsayısı (Fast) : $\mu_2 = 0.081$
- Sürtünme Katsayısı : Dış yüzey için $2\mu_1 = 0.19$

- Sürtünme Katsayısı : İç yüzey için $2\mu_2 = 0.16$
- Oran Parametreleri (Fast) : 0.5
- Kayma Yüzey Eğriliği (Dış) : $R_{1eff} = 2.133m$
- Kayma Yüzey Eğriliği (İç) : $R_{2eff} = 0.33m$
- Durma Mesafesi: Dış yüzey için : $u^{**} = 2Dy + 2d1^*$
- $u = 2 * 0.00462 + 2 * 0.3398 = 0.688 m$
- Durma Mesafesi: İç yüzey için : $u^{**} = 2Dy$
- $u = 2 * 0.00462 = 0.0092 m$

Nonlinear Properties for Direction U2				
	Outer Top	Outer Bottom	Inner Top	Inner Bottom
Stiffness	5140.	5140.	4383.	4383.
Friction Coefficient, Slow	0.095	0.095	0.081	0.081
Friction Coefficient, Fast	0.19	0.19	0.162	0.162
Rate Parameter	0.5	0.5	0.5	0.5
Radius of Sliding Surface	2.133	2.133	0.33	0.33
Stop Distance	0.6888	0.6888	9.240E-03	9.240E-03

Şekil 5.10: İzolatörün yön özelliklerinin tanıtılması (U2).

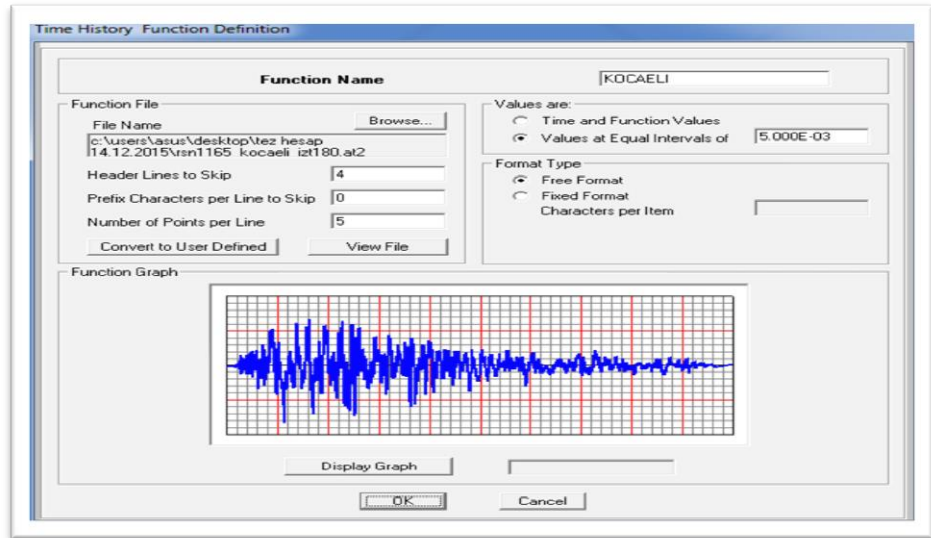


Şekil 5.11: İzolatörün yön özelliklerinin tanıtılması (R3).

5.4. Analizde Kullanılacak Deprem Kayıtları

5.4.1. Kocaeli Deprem Kaydının Tanıtılması

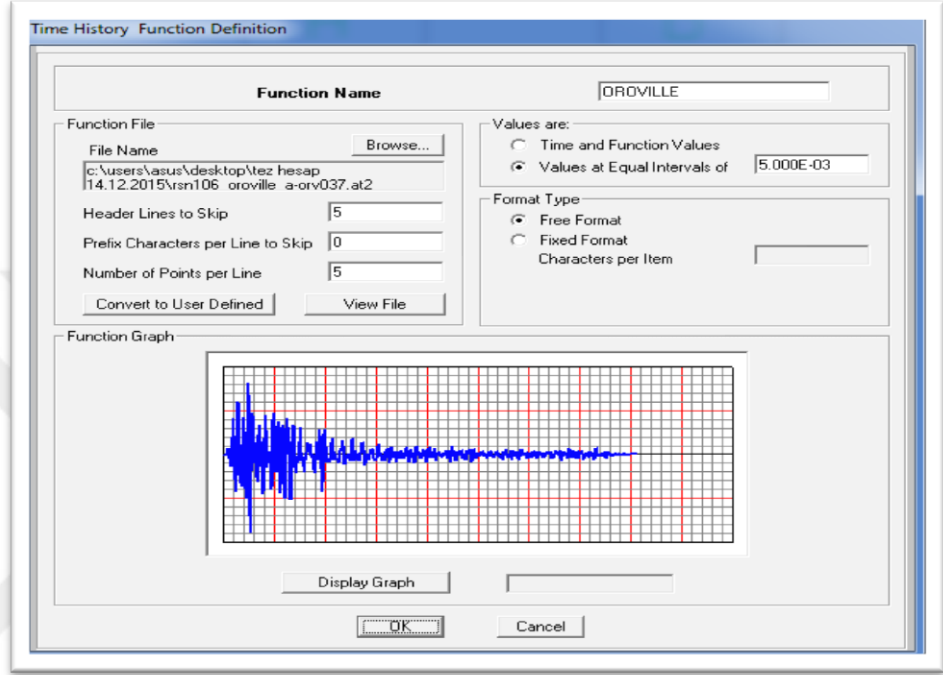
- Yer : Kocaeli/ İzmit/ Türkiye
- Tarih : 17.08.1999
- Kayıt aralığı : 0.005sn



Şekil 5.12: Kocaeli deprem kaydı.

5.4.2. Oroville Deprem Kaydının Tanıtılması

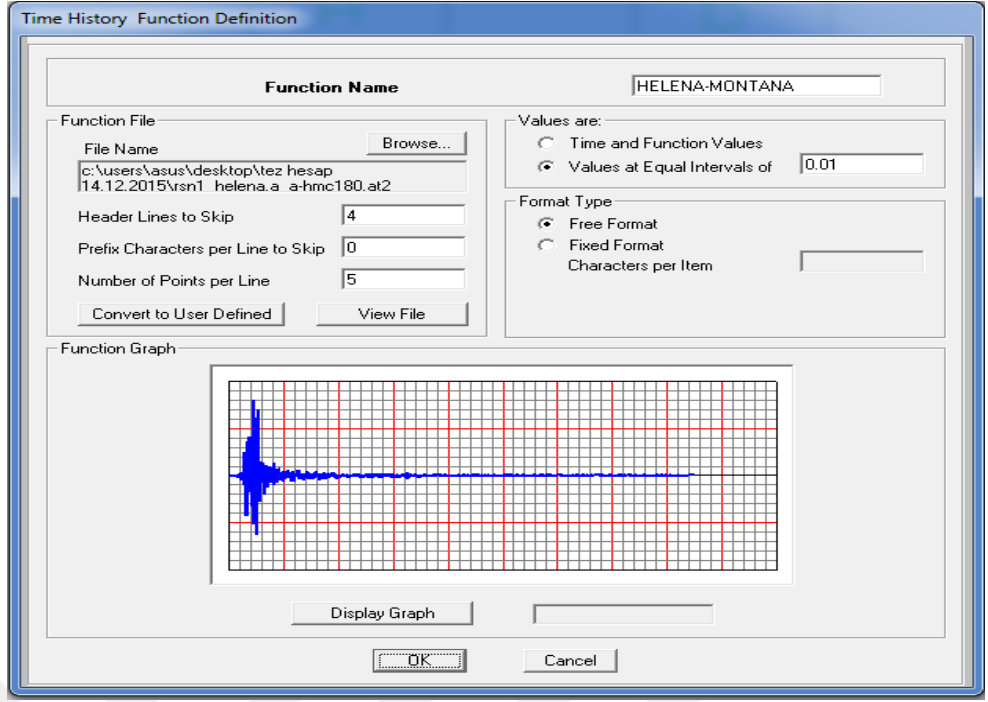
- Yer : Oroville/ Kaliforniya/ABD
- Tarih : 08.01.1975
- Kayıt aralığı : 0.005sn



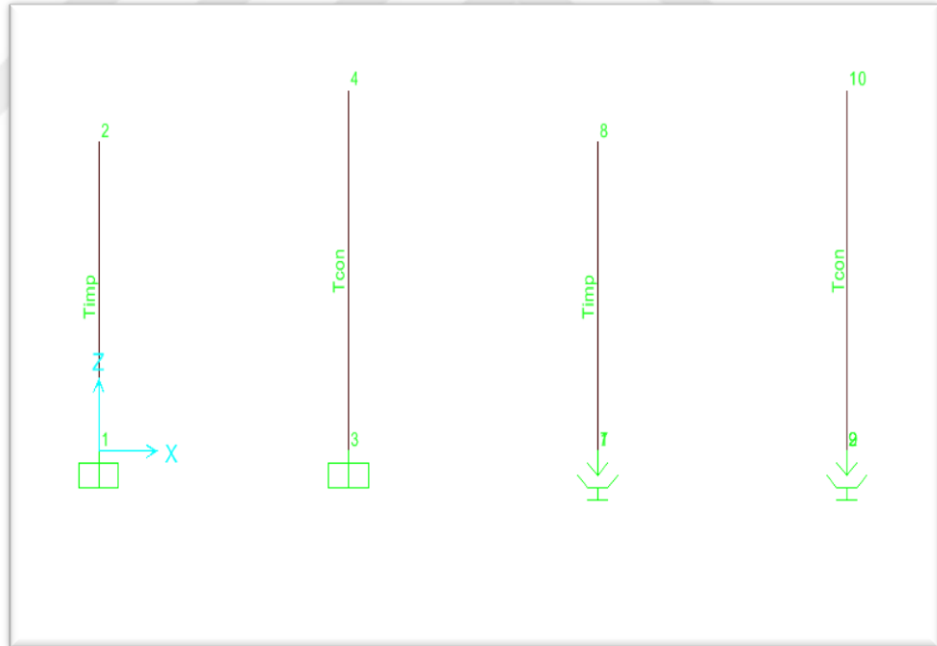
Şekil 5.13: Oroville deprem kaydı.

5.4.3. Helena Montana Deprem Kaydının Tanıtılması

- Yer : Helena-Montana/ABD
- Tarih : 31.10.1935
- Kayıt aralığı : 0.01sn

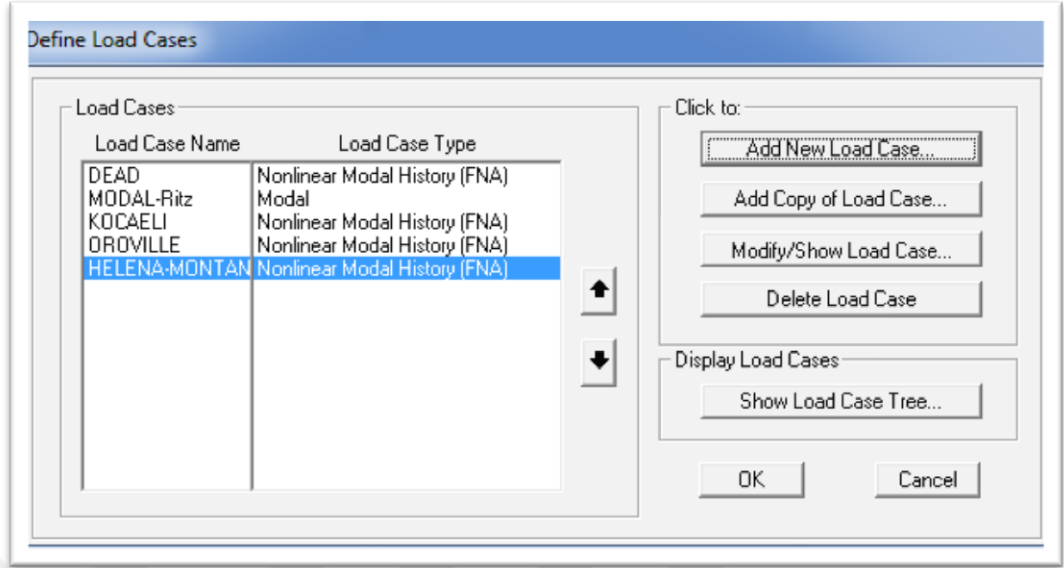


Şekil 5.13: Helena-Montana deprem kaydı.

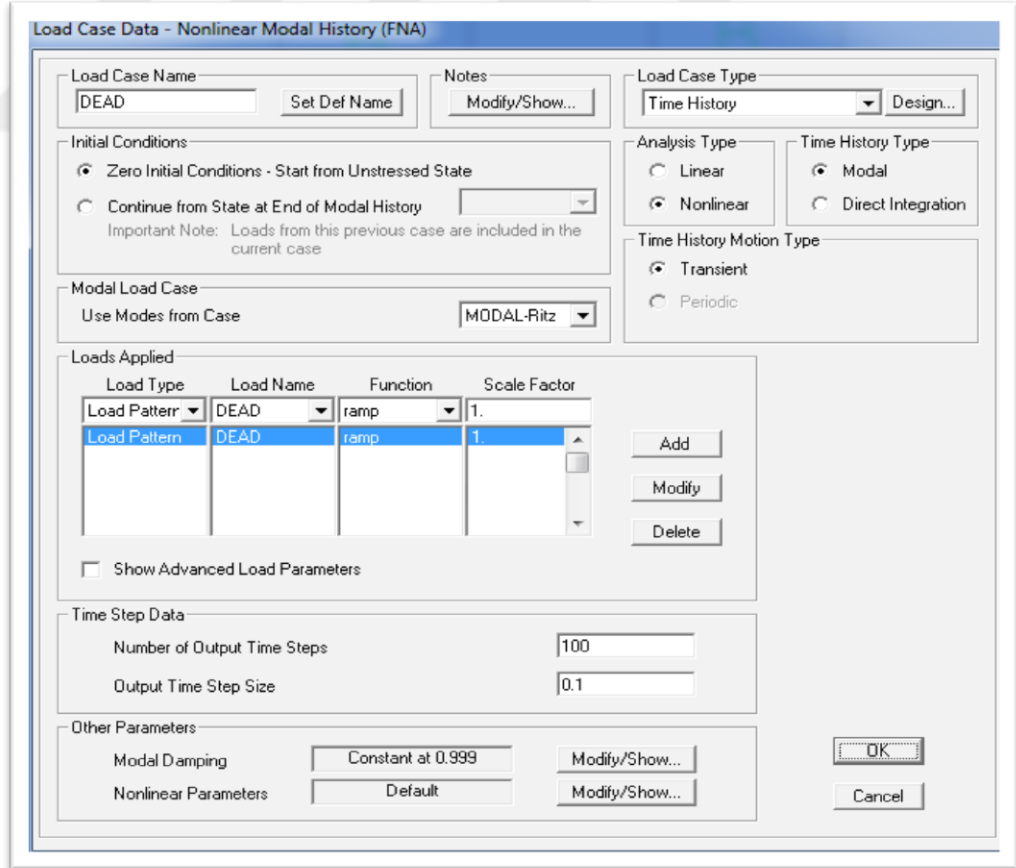


Şekil 5.15: İzolatsız ve izolatörlü sistemin analiz modeli.

5.5. Zaman Tanım Alanında Analiz Özellikleri



Şekil 5.16: Analiz yük durumları.



Şekil 5.17: FNA Analiz adımları.

Load Case Data - Modal

Load Case Name: MODAL-Ritz [Set Def Name] Notes: [Modify/Show...]

Load Case Type: Modal [Design...]

Stiffness to Use:

- Zero Initial Conditions - Unstressed State
- Stiffness at End of Nonlinear Case []

 Important Note: Loads from the Nonlinear Case are NOT included in the current case

Type of Modes:

- Eigen Vectors
- Ritz Vectors

Number of Modes:

- Maximum Number of Modes: 12
- Minimum Number of Modes: 1

Loads Applied

Load Type	Load Name	Maximum Cycles	Target Dynamic Participation Ratios (%)
Accel	UX	0	0.
Accel	UY	0	0.
Load Pattern	DEAD	0	0.
Link	All	0	0.

[Add] [Modify] [Delete] [OK] [Cancel]

Şekil 5.18: FNA Analiz adımları modal analiz.

Load Case Data - Nonlinear Modal History (FNA)

Load Case Name: KOCAELI [Set Def Name] Notes: [Modify/Show...]

Load Case Type: Time History [Design...]

Initial Conditions:

- Zero Initial Conditions - Start from Unstressed State
- Continue from State at End of Modal History [DEAD]

 Important Note: Loads from this previous case are included in the current case

Analysis Type:

- Linear
- Nonlinear

Solution Type:

- Modal
- Direct Integration

History Type:

- Transient
- Periodic

Modal Load Case: Use Modes from Case [MODAL-RITZ]

Mass Source: [Previous (MSSSRC1)]

Loads Applied

Load Type	Load Name	Function	Scale Factor
Accel	U1	KOCAELI DE	9.81
Accel	U1	KOCAELI DEPRE	9.81

[Add] [Modify] [Delete]

Show Advanced Load Parameters

Time Step Data:

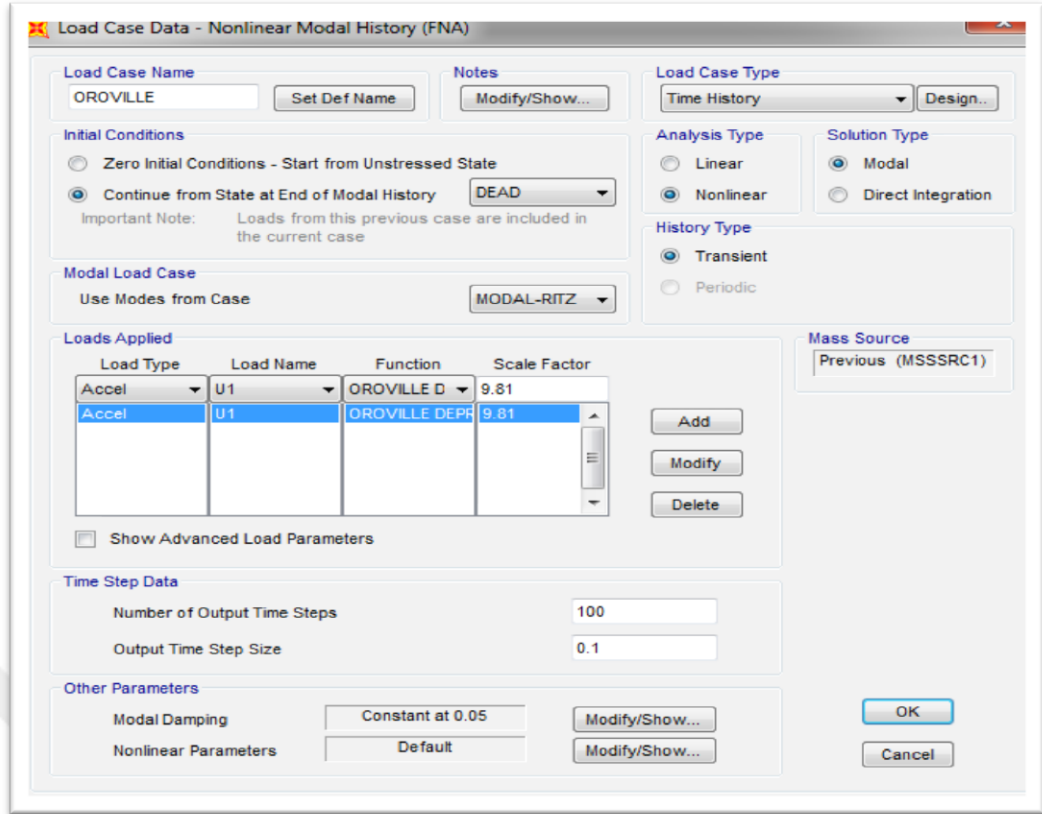
- Number of Output Time Steps: 100
- Output Time Step Size: 0.1

Other Parameters:

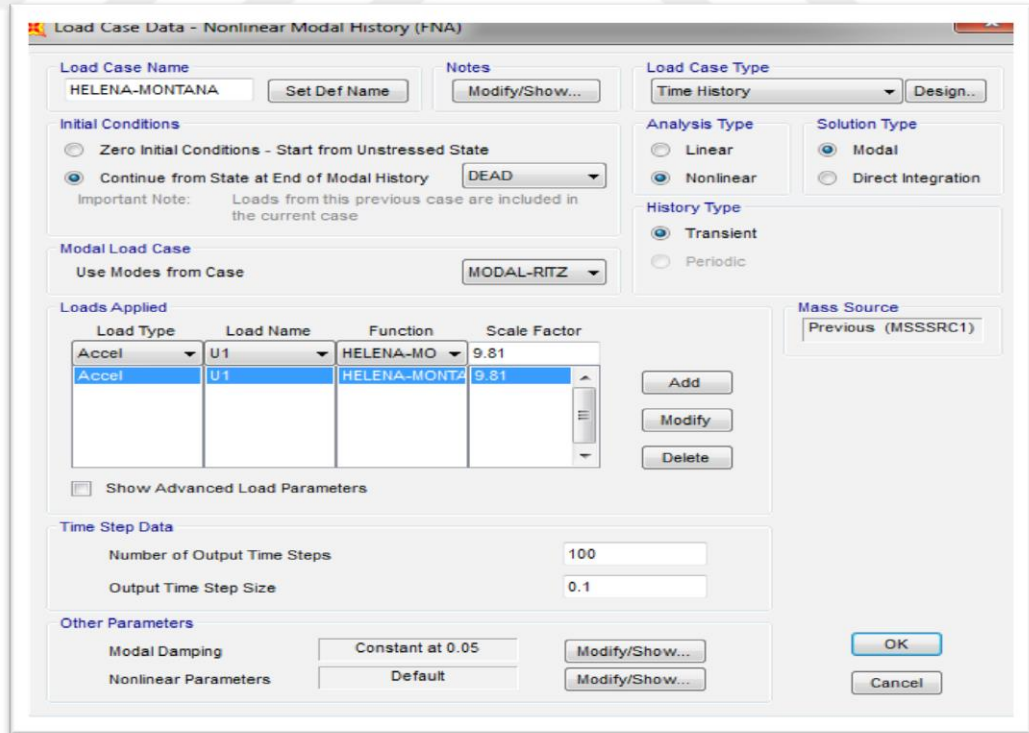
- Modal Damping: Constant at 0.05 [Modify/Show...]
- Nonlinear Parameters: Default [Modify/Show...]

[OK] [Cancel]

Şekil 5.19: FNA Analiz adımları Kocaeli deprem kaydı.



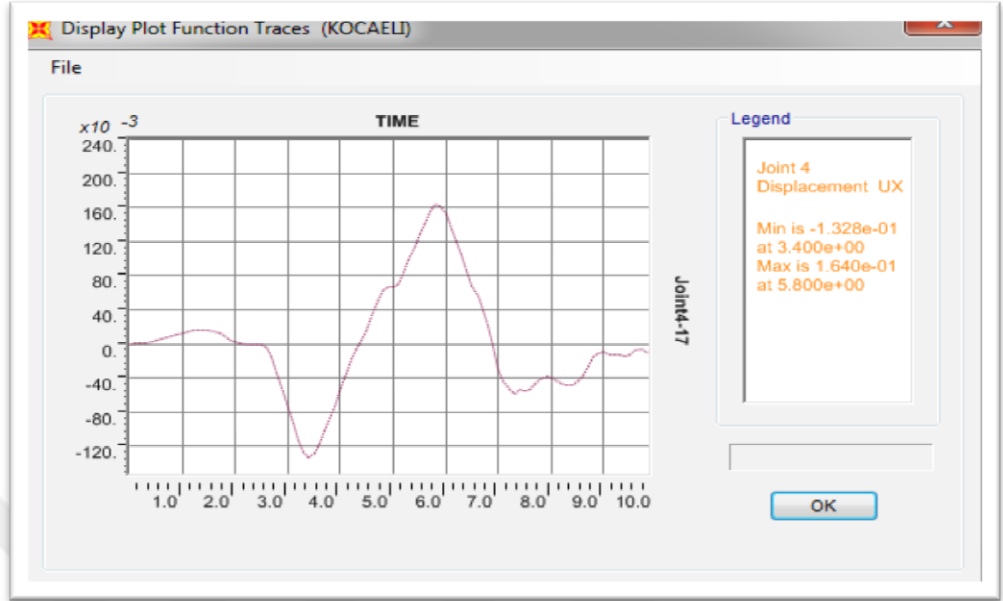
Şekil 5.20: FNA Analiz adımları Oroville deprem kaydı.



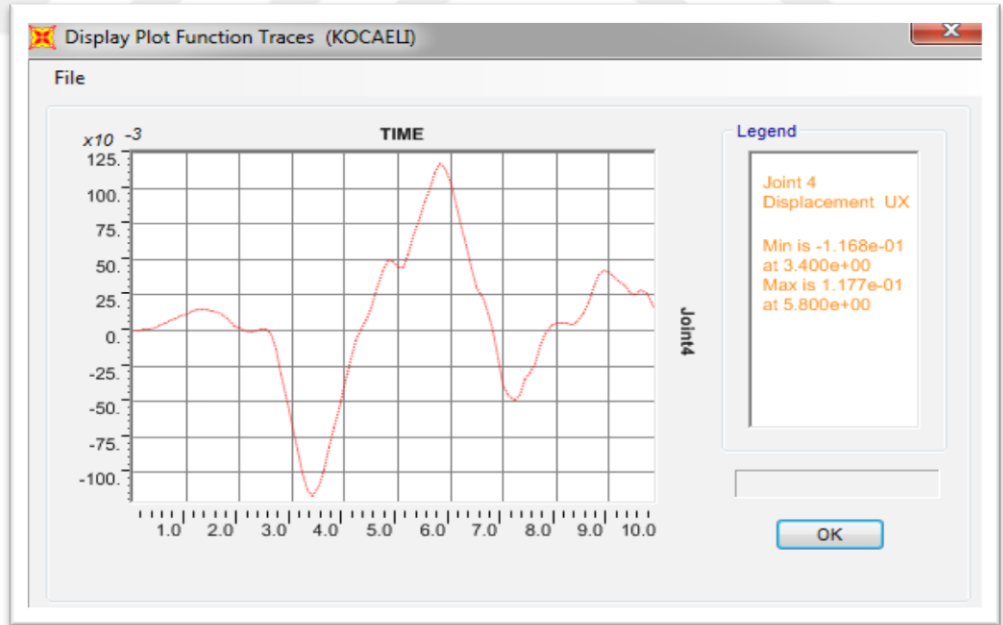
Şekil 5.21: FNA Analiz adımları Helena-Montana deprem kaydı.

5.6. Tankların Deplasman Karşılaştırmaları

5.6.1. Geniş Tank Analiz Sonuçları

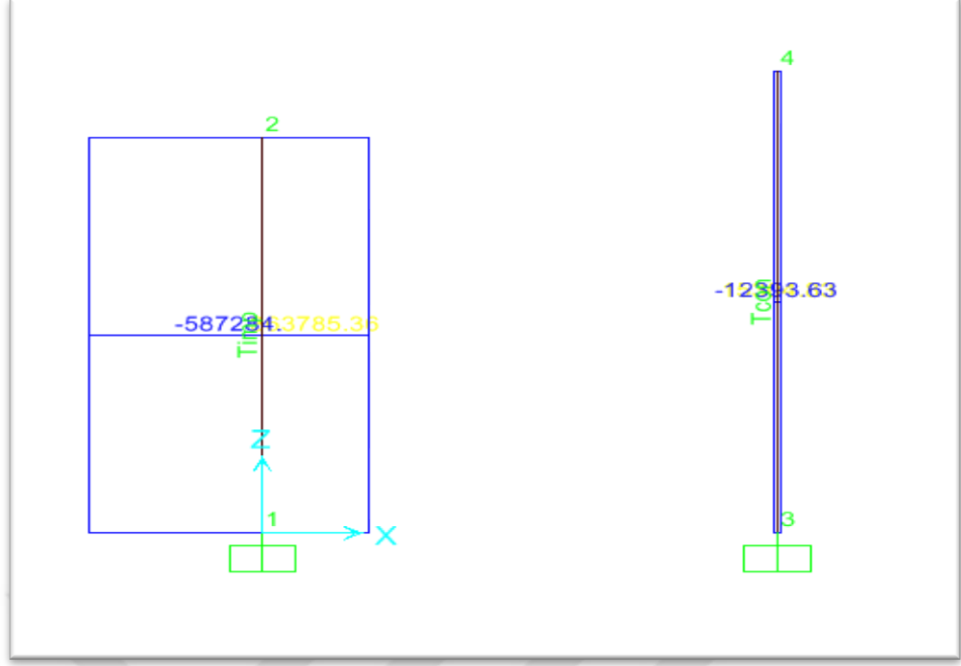


Şekil 5.22: İzolatsız sistemde Kocaeli deprem etkisinden meydana gelen deplasman $U_x = 0.16m$.

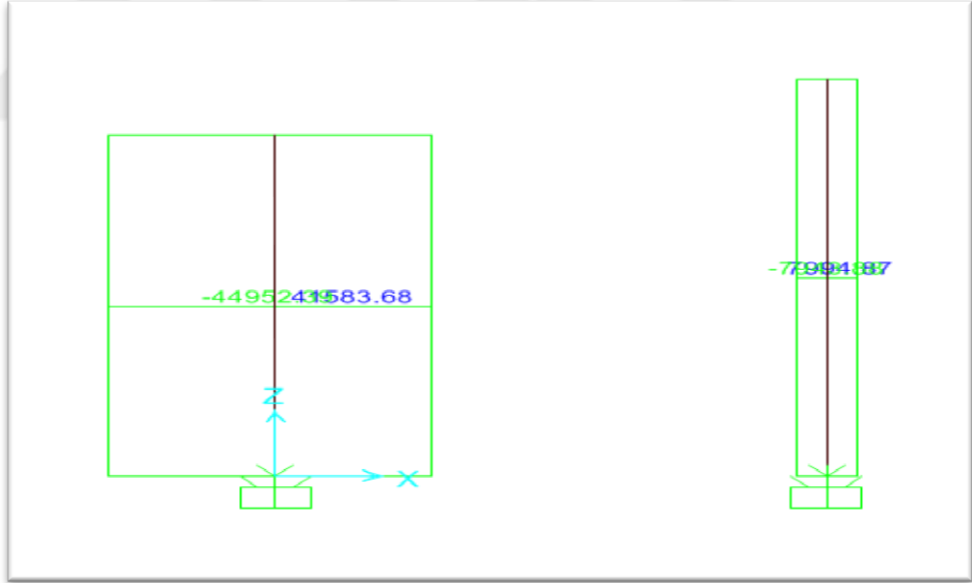


Şekil 5.23: İzolatörlü sistemde Kocaeli deprem etkisinden meydana gelen deplasman $U_x = 0.11m$.

Kocaeli deprem etkisinde tankta meydana gelen deplasman izolatlörlü tankta %31.25 oranında azalmıştır.

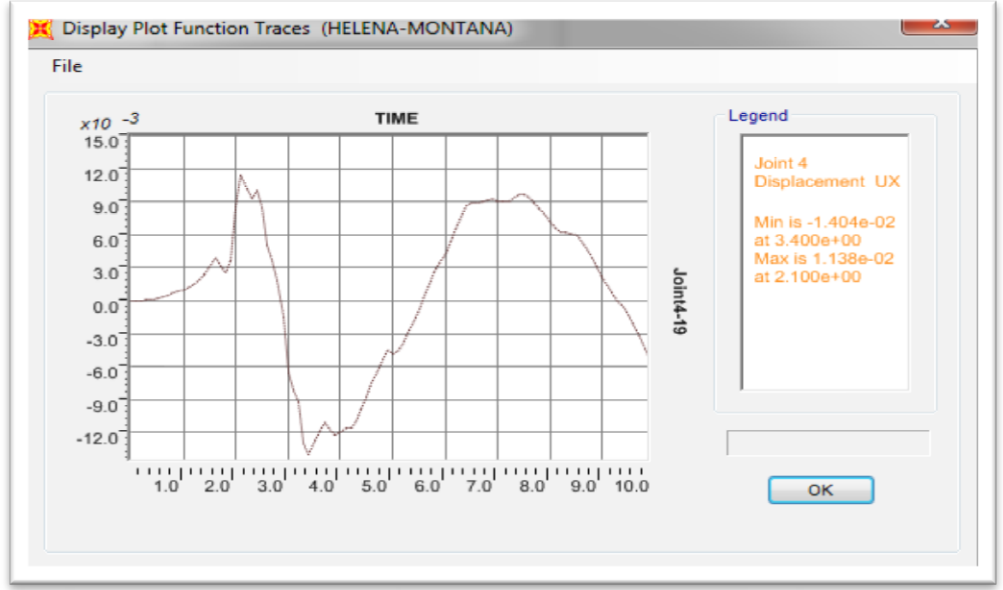


Şekil 5.24: İzolatsız sistemde Kocaeli deprem etkisinden meydana gelen kesme kuvveti $V_{imp}=587,284$ kN $V_{con} = 12,393$ kN.

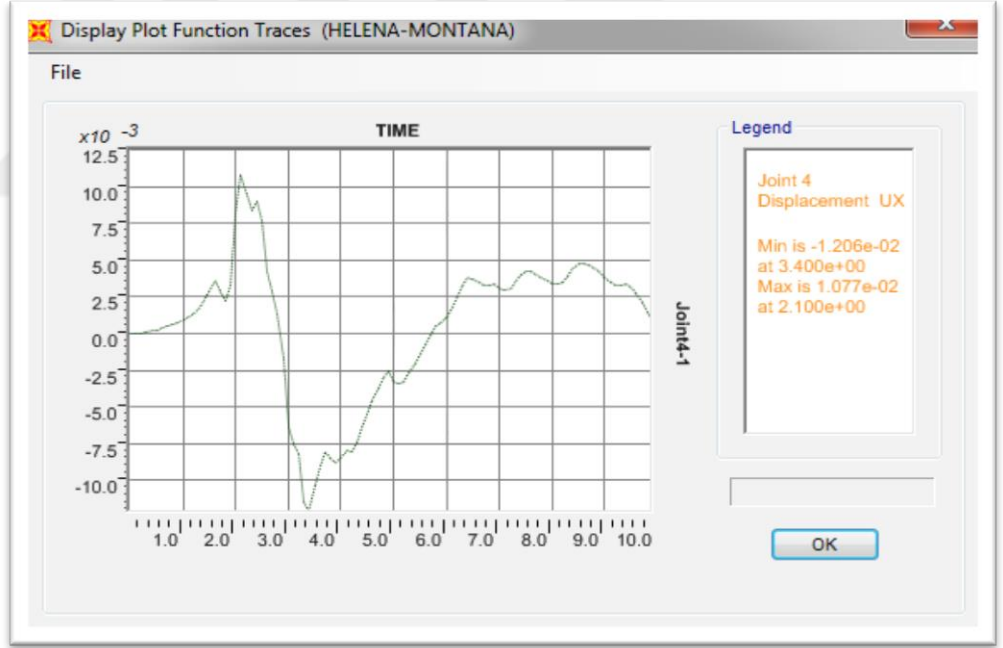


Şekil 5.25: İzolörlü sistemde Kocaeli deprem etkisinden meydana gelen kesme kuvveti $V_{imp}= 41,583$ kN $V_{con} = 7,994$ kN.

Kocaeli deprem etkisinde tankta meydana gelen kesme kuvvetleri izolotörlü tankta impulsif kütleye etki eden kuvvet %93, konvektif kütleye etki eden kuvvet %35 oranında azalmıştır.

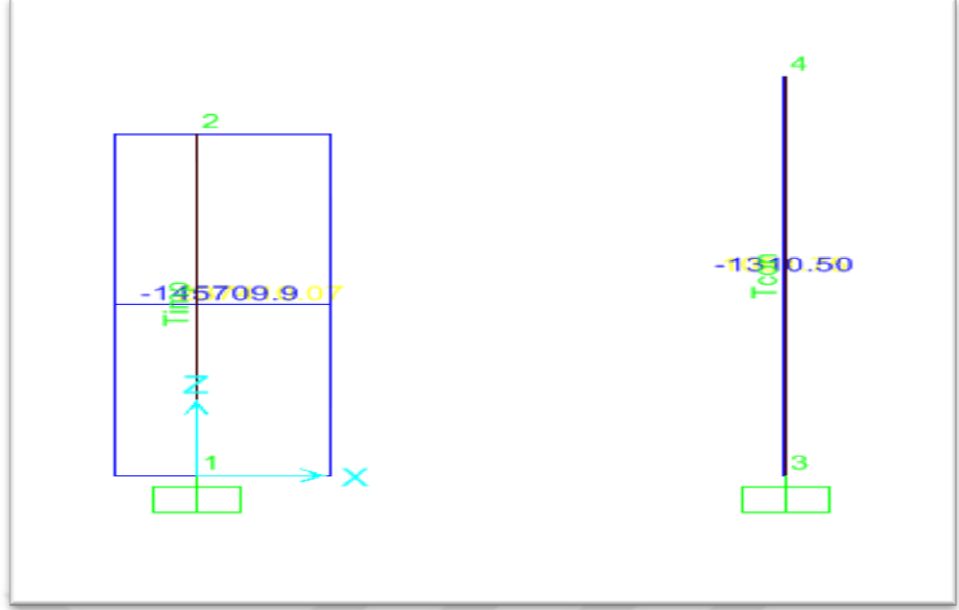


Şekil 5.26: İzolatsız sistemde Helena-Montana deprem etkisinden meydana gelen deplasman $U_x = 0.014\text{m}$.

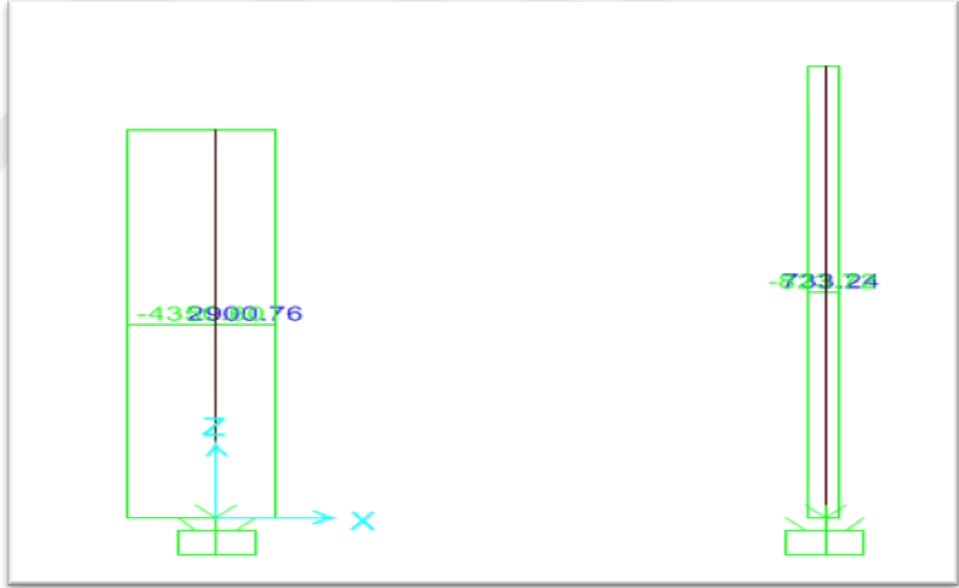


Şekil 5.27: İzolörlü sistemde Helena-Montana deprem etkisinden meydana gelen deplasman $U_x = 0.012\text{m}$.

Helena-Montana deprem etkisinde tankta meydana gelen deplasman izolörlü tankta %14.29 oranında azalmıştır.

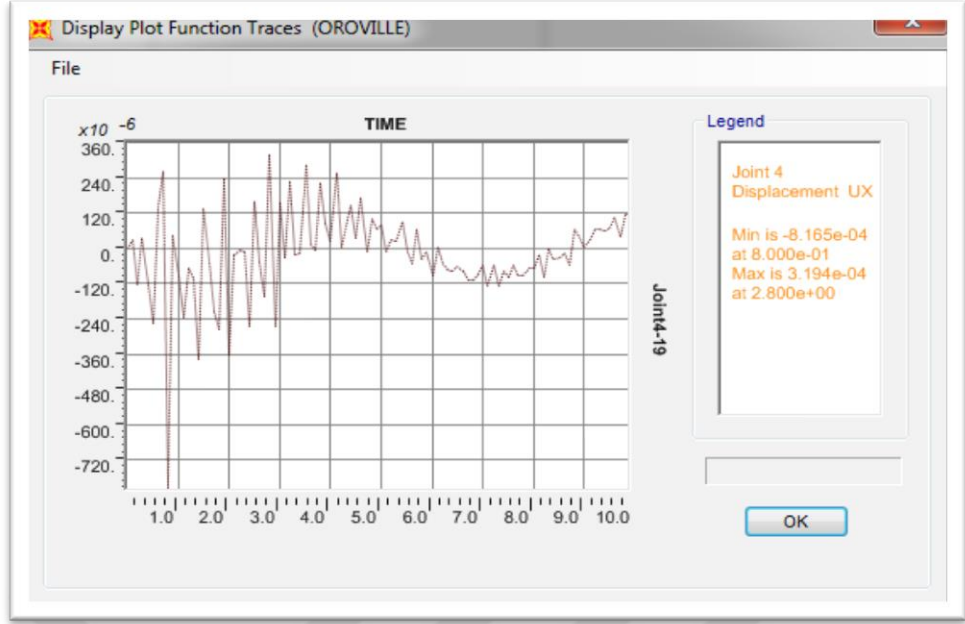


Şekil 5.28: İzolatörsüz sistemde Helena-Montana deprem etkisinden meydana gelen kesme kuvveti $V_{imp}= 145,709\text{kN}$ $V_{con} = 1,310 \text{ kN}$.

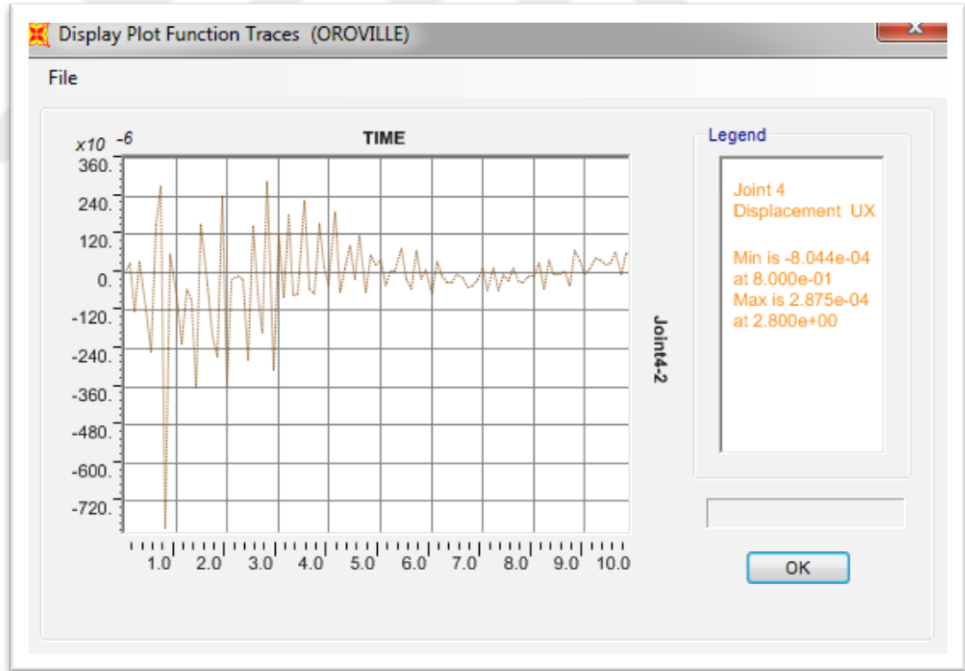


Şekil 5.29: İzolatörlü sistemde Helena-Montana deprem etkisinden meydana gelen kesme kuvveti $V_{imp}= 4,350\text{kN}$ $V_{con} = 823 \text{ kN}$.

Helena-Montana deprem etkisinde tankta meydana gelen kesme kuvvetleri izolatörlü tankta impulsif kütleye etki eden kuvvet %98, konvektif kütleye etki eden kuvvet %37 oranında azalmıştır.

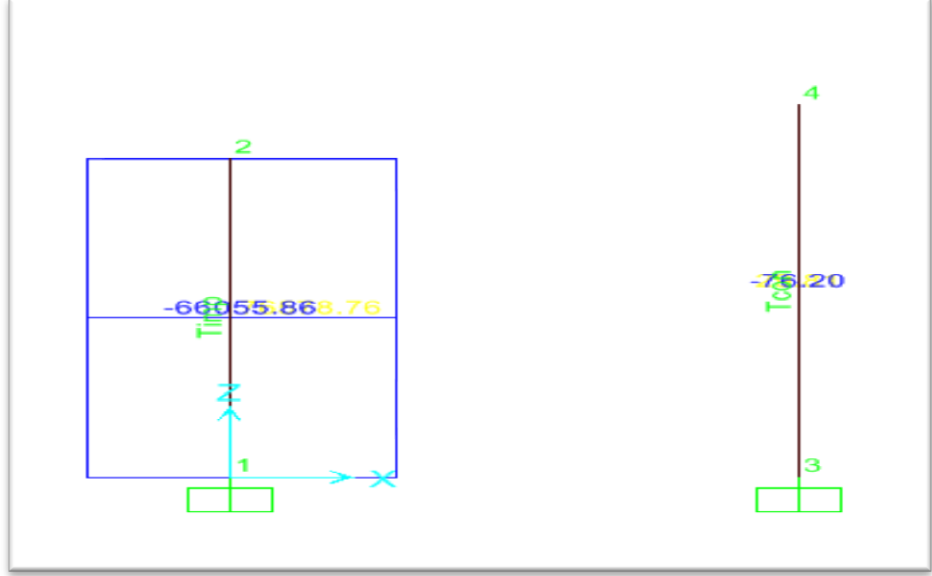


Şekil 5.30: İzolatsız sistemde Oroville deprem etkisinden meydana gelen deplasman $U_x = 0.00082\text{m}$.

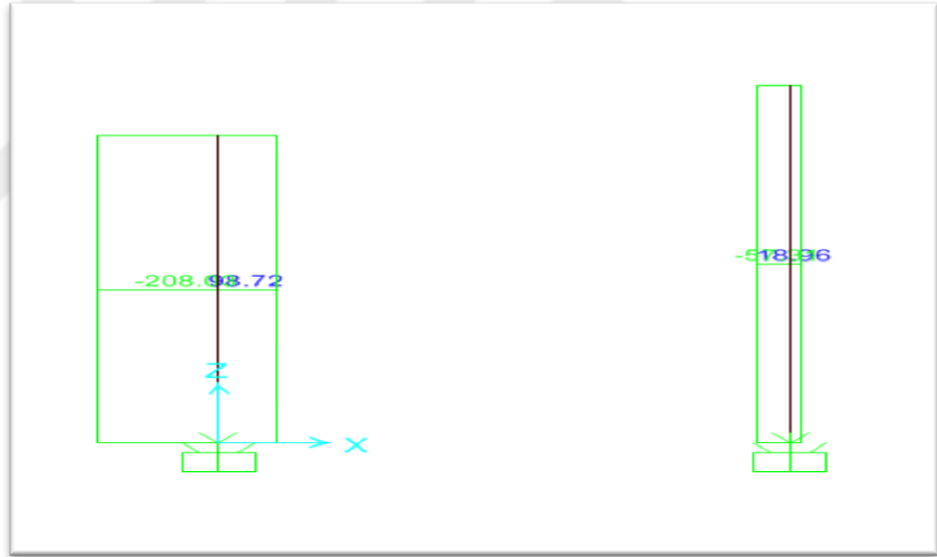


Şekil 5.31: İzolotörlü sistemde Oroville deprem etkisinden meydana gelen deplasman $U_x = 0.00080\text{m}$.

Oroville deprem etkisinde tankta meydana gelen deplasman izolotörlü tankta %3 oranında azalmıştır.



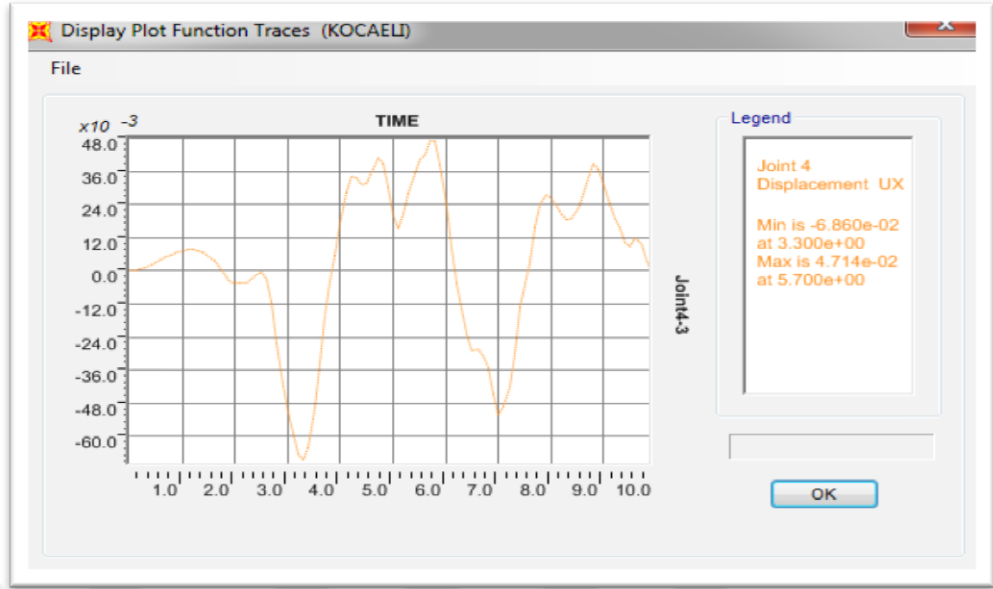
Şekil 5.32: İzolatsız sistemde Oroville deprem etkisinden meydana gelen kesme kuvveti $V_{imp}= 66,055\text{kN}$ $V_{con} = 76 \text{ kN}$.



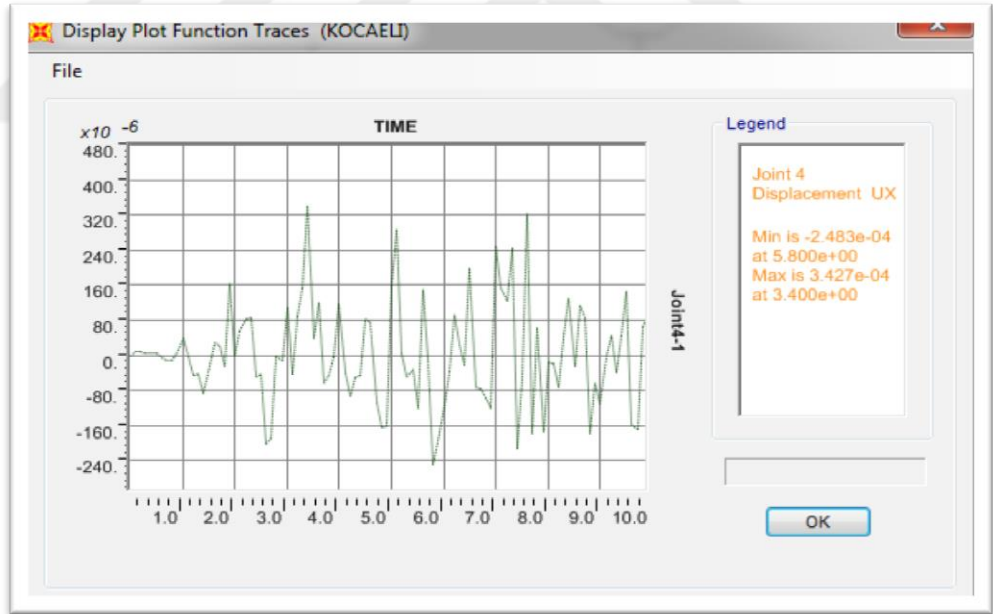
Şekil 5.33: İzolotörlü sistemde Oroville deprem etkisinden meydana gelen kesme kuvveti $V_{imp}= 208\text{kN}$ $V_{con} = 57 \text{ kN}$.

Oroville deprem etkisinde tankta meydana gelen kesme kuvvetleri izolotörlü tankta impulsif kütleye etki eden kuvvet %98, konvektif kütleye etki eden kuvvet %25 oranında azalmıştır.

5.6.2. Narin Tank Analiz Sonuçları

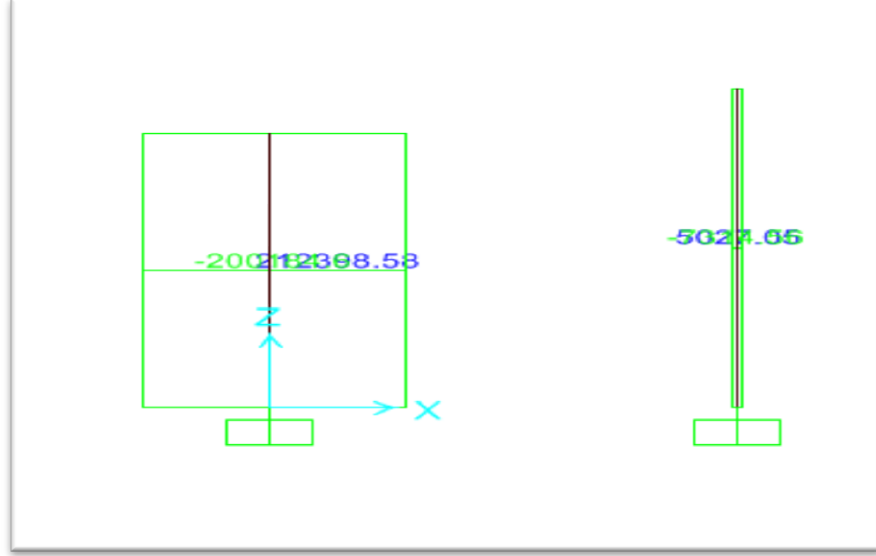


Şekil 5.34: İzolatsız sistemde Kocaeli deprem etkisinden meydana gelen deplasman $U_x = 0.068\text{m}$.

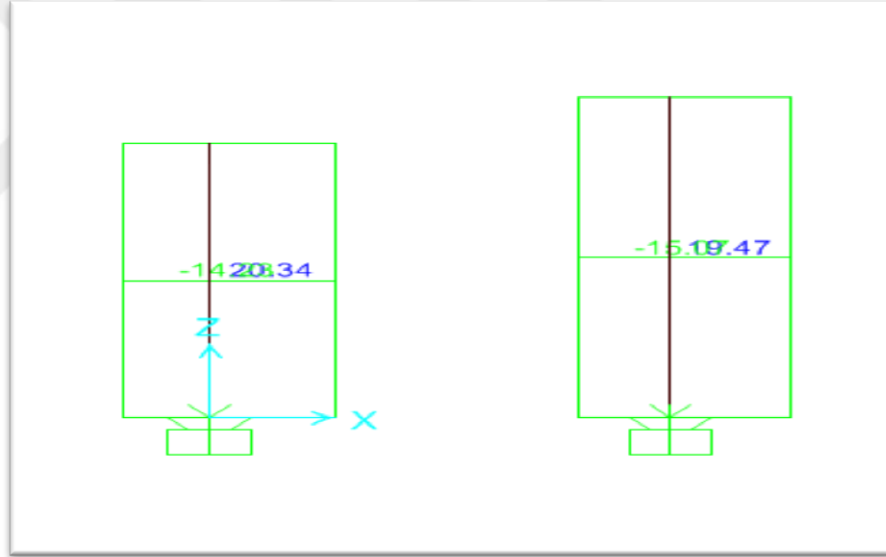


Şekil 5.35: İzolotörlü sistemde Kocaeli deprem etkisinden meydana gelen deplasman $U_x = 0.00034\text{m}$.

Kocaeli deprem etkisinde tankta meydana gelen deplasman izolotörlü tankta %99.5 oranında azalmıştır.

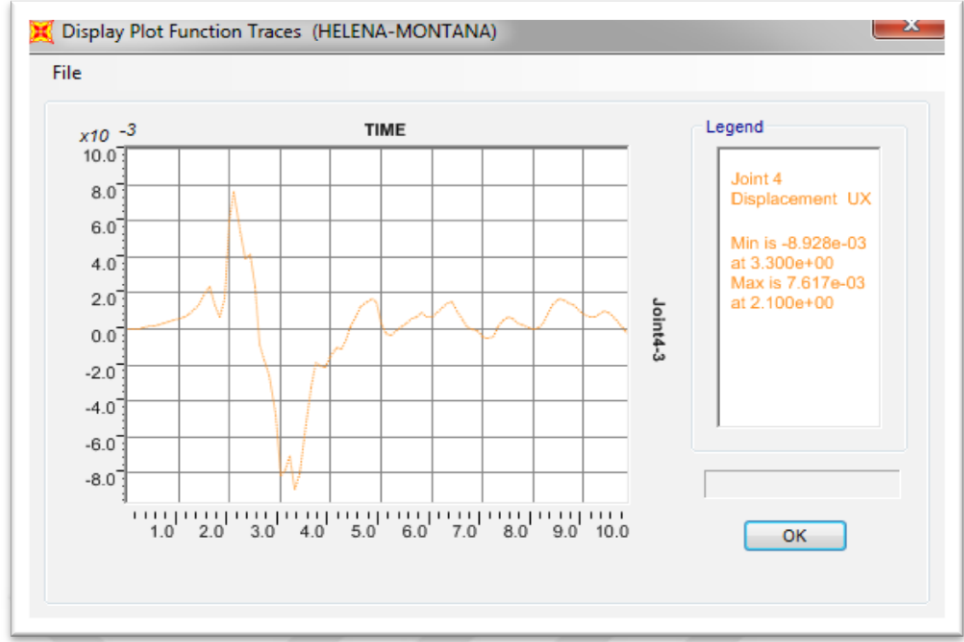


Şekil 5.36: İzolatsız sistemde Kocaeli deprem etkisinden meydana gelen kesme kuvveti $V_{imp} = 212,398 \text{ kN}$ $V_{con} = 5,021 \text{ kN}$.

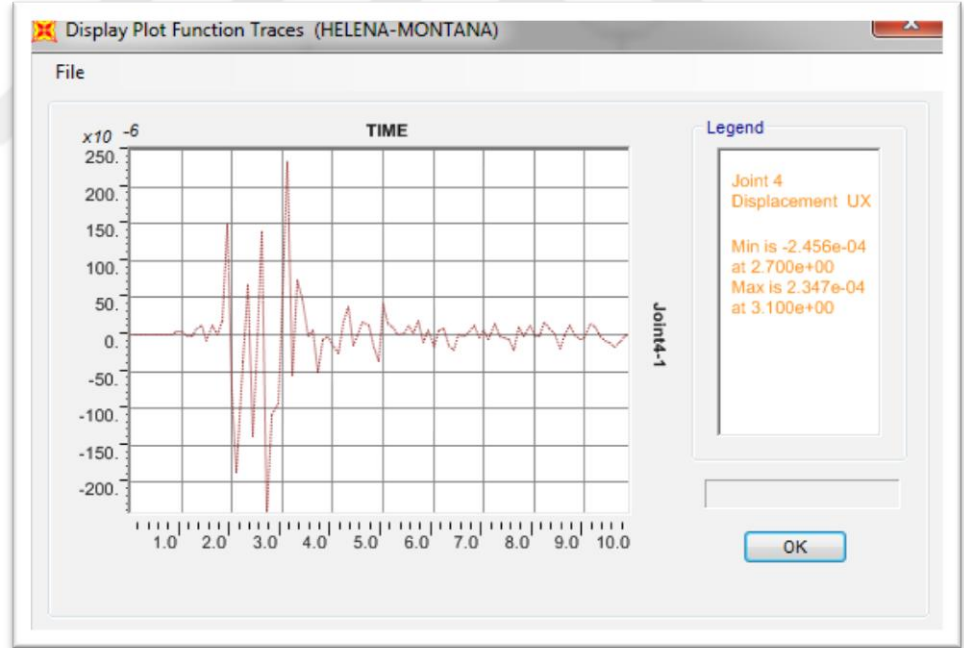


Şekil 5.37: İzolatörlü sistemde Kocaeli deprem etkisinden meydana gelen kesme kuvveti $V_{imp} = 20 \text{ kN}$ $V_{con} = 19 \text{ kN}$.

Kocaeli deprem etkisinde tankta meydana gelen kesme kuvvetleri izolatörlü tankta impulsif kütleye etki eden kuvvet %99.5, konvektif kütleye etki eden kuvvet %99.8 oranında azalmıştır.

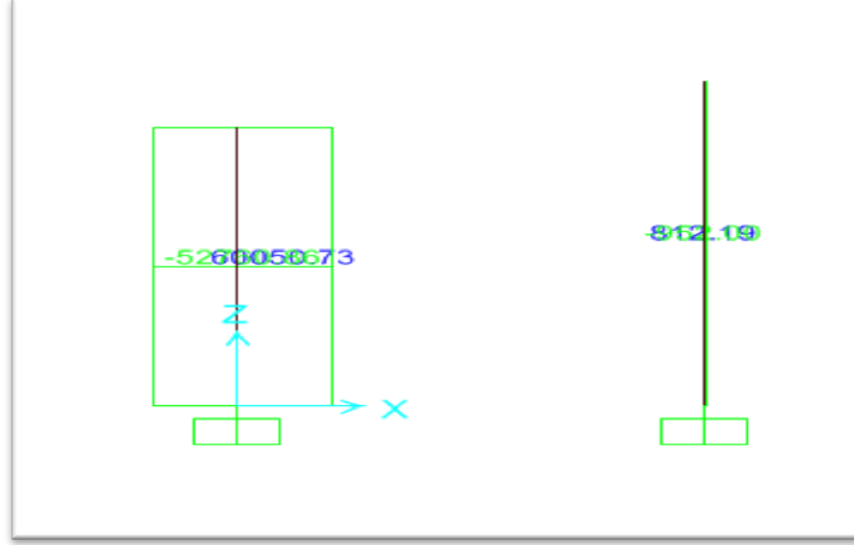


Şekil 5.38: İzolatörsüz sistemde Helena-Montana deprem etkisinden meydana gelen deplasman $U_x = 0.0089\text{m}$.

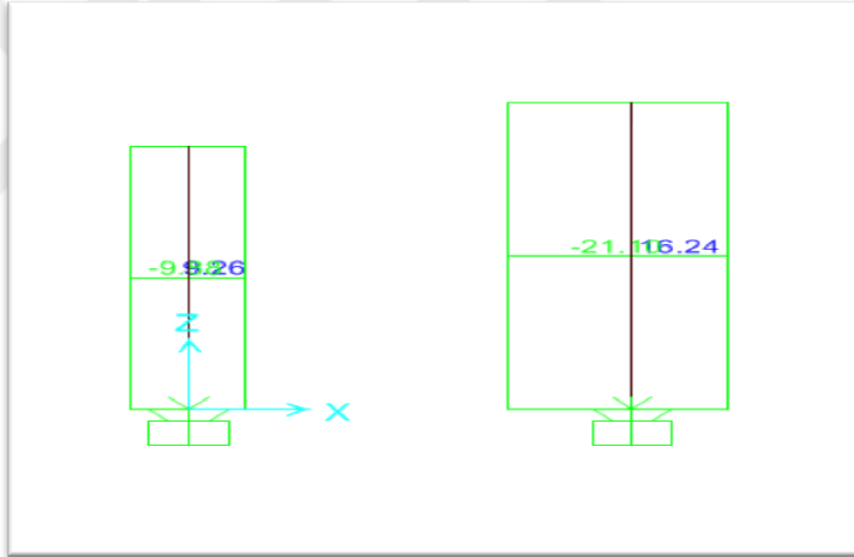


Şekil 5.39: İzolatörlü sistemde Helena-Montana deprem etkisinden meydana gelen deplasman $U_x = 0.00024\text{m}$.

Helena-Montana deprem etkisinde tankta meydana gelen deplasman izolatörlü tankta %97.3 oranında azalmıştır.

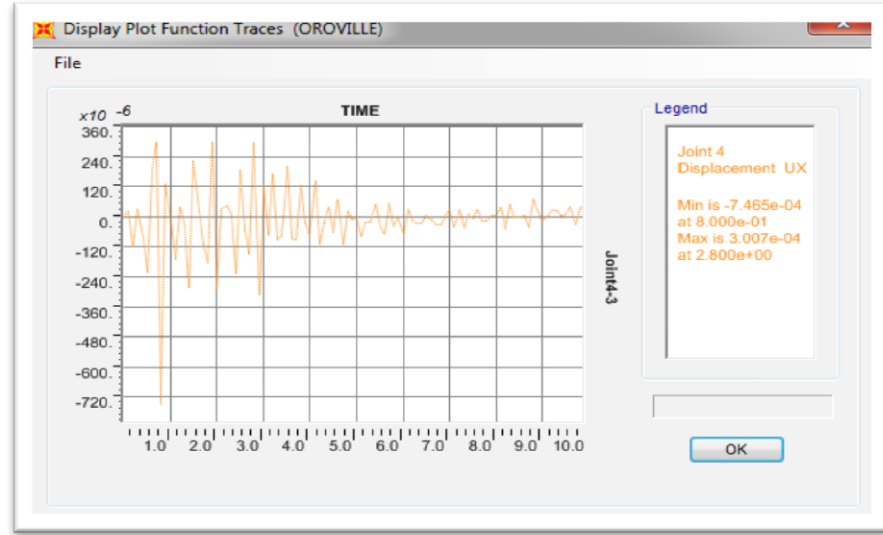


Şekil 5.40: İzolatsız sistemde Helena-Montana deprem etkisinden meydana gelen kesme kuvveti $V_{imp} = 60,050\text{kN}$ $V_{con} = 812\text{ kN}$.

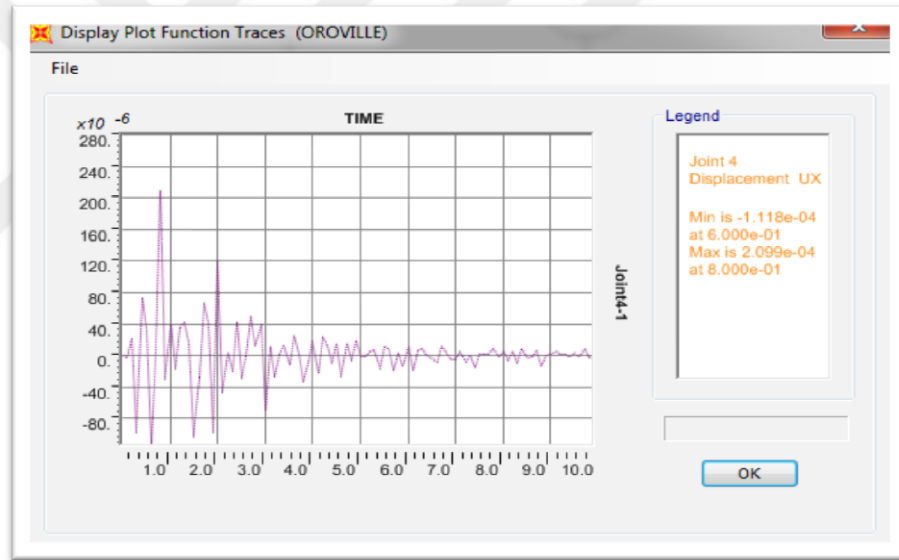


Şekil 5.41: İzolotörlü sistemde Helena-Montana deprem etkisinden meydana gelen kesme kuvveti $V_{imp} = 9,26\text{kN}$ $V_{con} = 16,24\text{ kN}$.

Helena-Montana deprem etkisinde tankta meydana gelen kesme kuvvetleri izolatörlü tankta impulsif kütleye etki eden kuvvet %99,8, konvektif kütleye etki eden kuvvet %99,9 oranında azalmıştır.

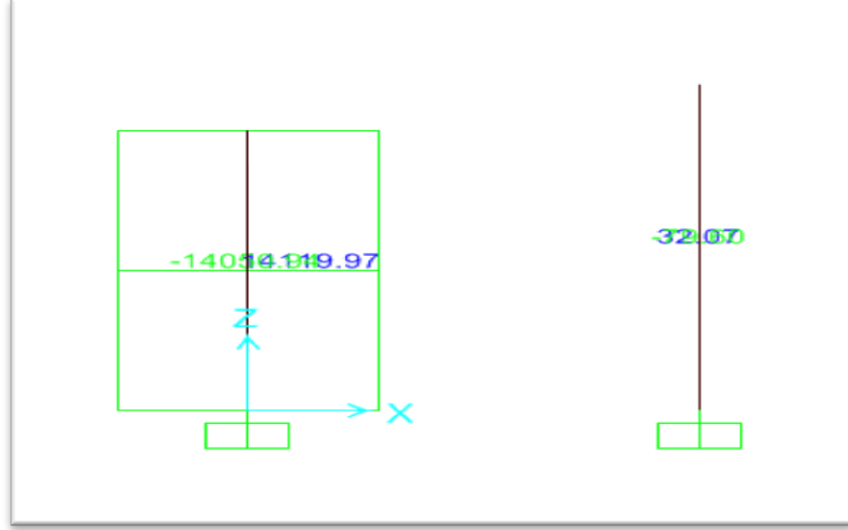


Şekil 5.42: İzolatsız sistemde Oroville deprem etkisinden meydana gelen deplasman $U_x = 0.00074\text{m}$.

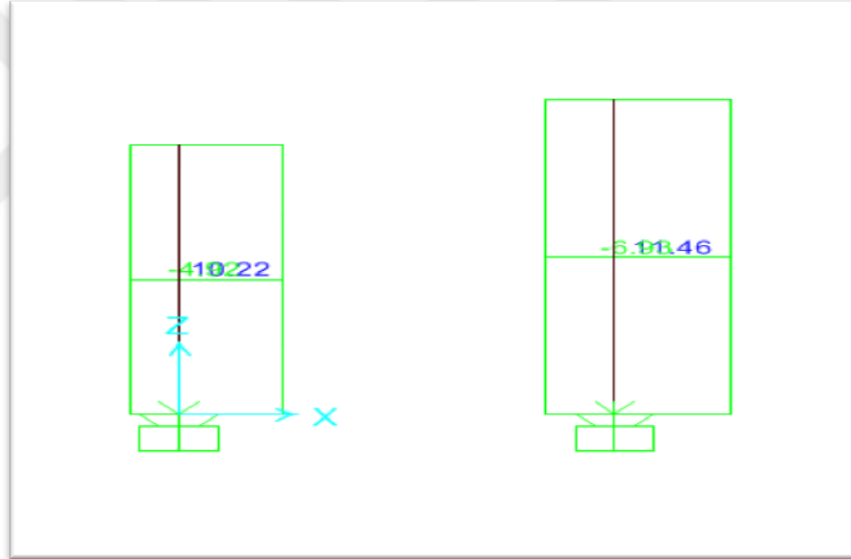


Şekil 5.43: İzolotörlü sistemde Oroville deprem etkisinden meydana gelen deplasman $U_x = 0.00021\text{m}$.

Oroville deprem etkisinde tankta meydana gelen deplasman izolotörlü tankta %71.62 oranında azalmıştır.



Şekil 5.44: İzolatsız sistemde Oroville deprem etkisinden meydana gelen kesme kuvveti $V_{imp} = 14,120 \text{ kN}$ $V_{con} = 32 \text{ kN}$.



Şekil 5.45: İzolotörlü sistemde Oroville deprem etkisinden meydana gelen kesme kuvveti $V_{imp} = 42 \text{ kN}$ $V_{con} = 11,46 \text{ kN}$.

Oroville deprem etkisinde tankta meydana gelen kesme kuvvetleri izolotörlü tankta impulsif kütleye etki eden kuvvet %99.8, konvektif kütleye etki eden kuvvet %64.27 oranında azalmıştır.

5.6.3. Geniş Tank Analiz Sonuçlarının Karşılaştırılması

Tablo 5.6: Geniş tank analiz sonuçları.

GENİŞ TANK (R=20m , H= 18m)	İZOLATORSUZ						İZOLATORLU					
	Kocaeli		Oroville		Helena-Montana		Kocaeli		Oroville		Helena-Montana	
	Kesme Kuvveti	Deplasman	Kesme Kuvveti	Deplasman	Kesme Kuvveti	Deplasman	Kesme Kuvveti	Deplasman	Kesme Kuvveti	Deplasman	Kesme Kuvveti	Deplasman
	12393 kN	0.16 m	76 kN	0.00082 m	1310 kN	0.014 m	7994 kN	0.11m	57 kN	0.0008 m	823 kN	0.012 m

Tablo 5.7: Analiz sonuçlarının Karşılaştırılması.

	İzolator Etkisi		
	Kocaeli Kaydı	Helena-Montana Kaydı	Oroville Kaydı
Kuvvet	%35	%37	%25
Deplasman	%31.5	%14.29	%3

5.6.4. Narin Tank Analiz Sonuçlarının Karşılaştırılması

Tablo 5.8: Narin tank analiz sonuçları.

NARİN TANK (R=20m , H= 30m)	İZOLATORSUZ						İZOLATORLU					
	Kocaeli		Oroville		Helena-Montana		Kocaeli		Oroville		Helena-Montana	
	Kesme Kuvveti	Deplasman	Kesme Kuvveti	Deplasman	Kesme Kuvveti	Deplasman	Kesme Kuvveti	Deplasman	Kesme Kuvveti	Deplasman	Kesme Kuvveti	Deplasman
5021 kN	0.068 m	32 kN	0.00074 m	812 kN	0.0089 m	19 kN	0.00034 m	11.4 kN	0.00021 m	16 kN	0.00021 m	

Tablo 5.9: Narin tank analiz sonuçları.

	İzolatör Etkisi		
	Kocaeli Kaydı	Helena-Montana Kaydı	Oroville Kaydı
Kuvvet	%99.8	%99.9	%64.27
Deplasman	%99.5	%97.3	%71.62

6. SONUÇLAR

Bu tez çalışmasında sıvı depolama tanklarının sismik izolasyon uygulamasıyla izolasyonun tanklar üzerindeki etkisi araştırılmıştır

Bir adet geniş ve bir adet narin tank örneği SAP2000 analiz programıyla yapıp sıvı yüzeyinin serbest olduğu analiz aşamaları detaylı bir şekilde incelenmiştir.

İki adet tankın zemine ankastre olarak bağlandığı, tank tavanının yüzer ve sıvının sıkışmadığı varsayılmıştır. Ayrıca tank sistemleri Horoun ve Housner'in belirlediği tek serbestlik dereceli model olarak modellenmiştir.

Ele alınan üç farklı deprem kaydı etkisindeki geniş ve narin tanklarda izolatör uygulaması sonucunda

Periyotlarının arttığı, ve buna bağlı olarak deprem periyodundan uzaklaştığı için deprem sonucu oluşan kesme kuvveti, moment ve deplasmanlarında önemli bir azalış olduğu gözlenmiştir.

Geniş tankta; Kocaeli/İzmit, Helena-Montana ve Oroville deprem kayıtları altında kesme kuvvetlerinde deplasmanlarında %30-%35 lere varan azalma olduğu gözlenmiştir.

Narin tankta; Kocaeli/İzmit, Helena-Montana ve Oroville deprem kayıtları altında kesme kuvvetlerinde deplasmanlarında %70-%99 lere varan azalma olduğu gözlenmiştir.

Bir yapının yüksekliği ile periyodu doğru orantılıdır. Ayrıca sismik izolasyon sayesinde yapıların periyodu daha da arttığından yapılar deprem periyodu aralığından uzaklaşmaktadır. Bu sebeple izolatörün narin tanka sağladığı pozitif etki geniş tanka sağladığı pozitif etkiden daha yüksektir.

Buna göre; üçlü sarkaç izolatörlerin tanklar üzerindeki etkisi önemli ölçüde büyüktür. Deprem kuşağında bulunan ülkemizde bir çok tehlikeli olan veya olmayan sıvıyı depolamak için kullanılan tanklarda üçlü sarkaç izolatör ile izolasyon sistemi ile deprem etkileri en aza indirilebilir.

KAYNAKLAR

A.A.A. Sarlis., M.C. Constantinou., (2010) “Modeling Triple Friction Pendulum Isolators in SAP2000” Structural and Environmental Engineering, University of Buffalo, State Univeristy of New York

Abalı E., Uckan E., (2010) “Parametric analysis of liquid storage tanks base isolated by curved surface sliding bearings” Soil Dynamics and Earthquake Engineering 30, 21-31.

ASCE (2010) 1: Minimum Design Loads for Building and Other Structures – Part 17: Seismic Design Requirements for Seismically Isolated Structures: American Society and Civil Engineers 7-10

El-Bayoumi.K., (2015) “Modelling of Triple Friction Pendulum Bearing in SAP2000.” International Journal of Advances in Engineering and Technology, Feb. 8,1964-1971

İsmail M, Rodellar J, Ikhouane F (2010) “An Innovative Isolation Device for Aseismic Design. Eng. Struct.” 32, 1168-1183

İstanbul Yüksek Yapılar Yönetmeliği, (2008)

Kıyı ve Liman Yapıları, Demiryolları, Hava Meydanları İnşaatlarına İlişkin Deprem Teknik Yönetmeliği, (2008)

Malhotra PK. (1997) “Method for seismic base isolation of liquid storage tanks”. ASCE, Journal of Structural Engineering January; 123(1),50-76

Malhotra PK.,Wenk T., Wieland M., (2000) “Simple Procedure for Seismic Analysis of Liquid Storage Tanks”., Journal of Structural Engineering January; (3),197-201

Mermer S., (2006) “Silindirik Sıvı Depolama Tanklarında Sismik İzolasyon Uygulaması”., Yüksek Lisans Tezi, Gazi Üniversitesi Fen Bilimleri Enstitüsü

Yazıcı G., Çılı F., (2005) “Silindirik Depoların Sismik Yalıtım Yöntemiyle Depremden Korunması. ” Deprem Sempozyumu, Kocaeli/Türkiye 23-25 Mart 2005

Web 1, (2015), <http://www.peer.berkeley.edu>, (Erişim Tarihi: 07/06/2015).

Web 2, (2015), <http://www.earthquakeprotection.com>, (Erişim Tarihi: 09/07/2015).

ÖZGEÇMİŞ

Özge YALÇIN 1990 yılında Edirne’de doğdu. 2008 yılında başladığı Balıkesir Üniversitesi Mimarlık-Mühendislik Fakültesi İnşaat Mühendisliği Bölümünü 2012 yılında başarıyla tamamlayarak 2013 yılında yüksek lisans eğitimine Gebze Teknik Üniversitesi Fen Bilimleri Enstitüsü Deprem ve Yapı Mühendisliği Anabilim Dalında başladı.



